arXiv:1512.03078v1 [math.RT] 9 Dec 2015

Construction d'un complexe différentiel pour des modules de Speh θ-invariants

Nicolás Arancibia Robert

Résumé

Soit π un module de Speh de $\mathbf{GL}(2n,\mathbb{R})$ basé sur une série discrète de $\mathbf{GL}(2,\mathbb{R})$. Cet article a pour objectif de construire un complexe différential pour π par de sommes de modules standards auto-duals,

$$0 \to \pi \to X_0 \to \cdots \to X_i \xrightarrow{\phi_i} X_{i+1} \to \cdots \to 0. \tag{1}$$

Les modules standard apparaissant dans **(1)** sont les modules standard auto-duals intervenant dans la résolution de Johnson de π, ils sont paramétrés par l'ensemble des involutions $\mathfrak{I}_n$ du groupe symétrique $\mathfrak{S}_n$. Via le paramétrage précédent, il est possible de montrer que l'ordre de Bruhat inversé sur $\mathfrak{I}_n$, coïncide avec l'ordre de Vogan défini sur l'ensemble des représentations irréductibles de $\mathbf{GL}(\mathbb{R})$. De ce résultat nous ramenons la construction de **(1)** à l'étude des propriétés combinatoires de l'ordre de Bruhat sur $\mathfrak{I}_n$.

Dans le dernier chapitre nous montrons que le complexe différentiel **(1)**, pour $n \leq 4$, est θ-exact, c'est-à-dire tel que la trace tordue de $\ker\phi_{i+1}/\mathrm{im}\phi_i$ est nulle. Ceci nous permet d'écrire la trace tordue de π comme combinaison linéaire de traces tordues de modules standard auto-duals, ce qui implique pour π un des principaux résultats de l'article, *Paquets d'Arthur des Groupes classiques et unitaires* **[AMR]**.

Abstract

Let π be a Speh module of $\mathbf{GL}(2n,\mathbb{R})$ based on a discrete series of $\mathbf{GL}(2,\mathbb{R})$. The aim of this paper is to build a chain complex of π by direct sum of auto-duals standard modules,

$$0 \to \pi \to X_0 \to \cdots \to X_i \xrightarrow{\phi_i} X_{i+1} \to \cdots \to 0. \tag{2}$$

The standard modules of **(2)** are the auto-duals standard modules which occurs in the Johnson's resolution of π, they are parameterized by the set of involutions $\mathfrak{I}_n$ of the symmetric group $\mathfrak{S}_n$. Under this parametrization one can show that the inversion of the Bruhat order in $\mathfrak{I}_n$ coincide with the Vogan order defined over the set of irreducible representations of $\mathbf{GL}(\mathbb{R})$. This allows us to reduce the construction of **(2)** to the study of combinatorial properties of the Bruhat order on $\mathfrak{I}_n$.

In the last chapter we show that the chain complex **(2)**, for $n \leq 4$, is θ-exact i.e. the twisted trace of $\ker\phi_{i+1}/\mathrm{im}\phi_i$ is trivial. This allows us to write the twisted trace of π as a linear combination of twisted traces of standard modules, wich implies for π one of the the main results of the paper, *Paquets d'Arthur des Groupes classiques et unitaires* **[AMR]**.

Table des matières

1 Introduction **2**
1.1 Plan du papier 9

2 Notations **9**

3 L'ensemble des involutions du groupe symétrique **11**
3.1 Ensemble partiellement ordonné 11
3.2 L'ordre de Bruhat sur les involutions du groupe symétrique 12

4 L'ensembles des représentations irréductibles du groupe lineaire **14**
4.1 Paramétrisation de Beilinson-Bernstein pour $\mathbf{GL}(N,\mathbb{R})$ 14
4.2 Représentations θ-invariants de $\mathbf{GL}(N,\mathbb{R})$ 16
4.3 Le module de Speh 17

5 L'ensembles des représentations irréductibles du groupe unitaire **21**
5.1 Paramétrisation de Beilinson-Bernstein pour $\mathbf{U}(p,q,\mathbb{R})$ 21

6 Un complexe différentiel pour les modules de Speh θ-invariants **23**
6.1 Construction du complexe différentiel 23
6.2 θ-exactitude 34
6.3 θ-exactitude dans $\mathbf{GL}(6,\mathbb{R})$ 35
6.4 θ-Resolution dans $\mathbf{GL}(8,\mathbb{R})$ 37

Références **47**

1 Introduction

Soit $\mathbf{G}$ un groupe algébrique réductif défini sur $\mathbb{R}$, notons par $\mathfrak{g}$ la complexification de l'algèbre de Lie de $\mathbf{G}$ et fixons une involution de Cartan τ de $\mathbf{G}(\mathbb{R})$ de sorte que le sous-groupe $K = \mathbf{G}(\mathbb{R})^\tau$ soit un compact maximal de $\mathbf{G}(\mathbb{R})$.

Les représentation irréductibles et unitaires de $\mathbf{G}(\mathbb{R})$ ayant de la $(\mathfrak{g}, K)$-cohomologie non triviale ont été classifié par Vogan et Zuckerman. Elles sont obtenues de la manière suivante. Soit $\mathfrak{q}$ une sous-algèbre parabolique τ-stable de $\mathfrak{g}$ de décomposition de Levi $\mathfrak{q} = \mathfrak{l} \oplus \mathfrak{u}$ avec $\mathfrak{l}$ définie sur $\mathbb{R}$ et stable par τ. Posons $\mathbf{L} = N_{\mathbf{G}}(\mathfrak{l})$. Soit λ un caractère unitaire de $\mathbf{L}(\mathbb{R})$ et H un sous-groupe de Cartan de $\mathbf{L}(\mathbb{R})$. Notons $d\lambda$ la différentielle de $\lambda|_H$ et supposons que la condition de positivité suivante soit vérifiée,

$$\mathrm{Re}(\langle \alpha, d\lambda \rangle) \geq 0, \quad \alpha \in \Delta(\mathfrak{h}, \mathfrak{u}). \tag{3}$$

Alors pour tout caractère unitaire λ de $\mathbf{L}(\mathbb{R})$, véerifiant **(3)**, posons,

$$A_{\mathfrak{q}}(\lambda) = \mathscr{R}^S_{\mathfrak{q}}(\lambda). \tag{4}$$

où $\mathscr{R}^i_{\mathfrak{q}}$ désigne le i-eme foncteur d'induction cohomologique et $S = \dim(\mathfrak{u} \cap \mathfrak{k})$ La représentation $A_{\mathfrak{q}}(\lambda)$ est unitaire et avec de la $(\mathfrak{g}, K)$-cohomologie non triviale. De plus toute représentation irréductible et unitaire ayant de la $(\mathfrak{g}, K)$-cohomologie non triviale en est obtenue par la formule **(4)** après induction cohomologique d'un caractère λ de $\mathbf{L}(\mathbb{R})$ véerifiant **(3)**.

Fixons une représentation irréductible et unitaire π de $\mathbf{G}(\mathbb{R})$, ayant de la $(\mathfrak{g}, K)$-cohomologie non triviale. Soit λ un caractère unitaire de $\mathbf{L}(\mathbb{R})$ tel que $\pi = A_{\mathfrak{q}}(\lambda)$. L'ensemble Π_λ des représentation irréductibles de $\mathbf{L}(\mathbb{R})$ ayant un caractère infinitésimal égal à celle de λ est parametre par l'ensemble de paramètres de Beilison Bernsetein $\mathscr{P}_\lambda$. Dans cette parametrization à chaque paramètre $\gamma \in \mathscr{P}_\lambda$, Beilinson et Bernstein associent un module standard $X^L(\gamma)$. Ce module standard possède la propriété de ne contenir qu'un seul sous-module irréductible que l'on note $\overline{X^L(\gamma)}$. La bijection établissant la classification est,

$$\gamma \in \mathscr{P}_\lambda \mapsto \overline{X^L(\gamma)} \in \Pi_F(\mathbf{L}(\mathbb{R})).$$

L'ensemble $\mathscr{P}_\lambda$ est muni d'un ordre partiel $\leq$ appelé $\mathcal{G}$-ordre de Bruhat ainsi que d'une fonction longueur, l.

Dans **[Joh84]** J. Johnson donne une résolution de λ en termes des modules standard. Cette résolution est un complexe exact de profondeur $q(L) = \frac{1}{2}(\dim(\mathbf{L}(\mathbb{R})) - \dim(\mathbf{L}(\mathbb{R}) \cap K)) - c_0$ (c_0 la moitié de la dimension de la partie déployeé d'un sous-groupe Cartan fondamental de $\mathbf{L}(\mathbb{R})$),

$$0 \to \lambda \to \cdots \to X^L_{i-1} \to X^L_i \to \cdots \to X^L_{q(L)} \to 0, \tag{5}$$

où $X^L_0 = X^L(\gamma_0)$, $\gamma_0 \in \mathscr{P}_\lambda$ est le module standard dont λ est l'unique sous module irréductible, et pour $i \geq 1$, X^L_i est la somme directe des modules standard $X^L(\gamma)$, $\gamma \in \mathscr{P}_\lambda$, tels que $\gamma \leq \gamma_0$ et $l(\gamma) = l(\gamma_0) - i$.

En utilisant le foncteur d'induction cohomologique $\mathscr{R}^S_{\mathfrak{q}}$ sur **(5)** J. Johnson dans **[Joh84]** construit pour $\pi = A_{\mathfrak{q}}(\lambda)$ une résolution,

$$0 \to \pi \to \cdots \to X_{i-1} \to X_i \to \cdots \to X_{q(L)} \to 0. \tag{6}$$

où pour tout $i \in [0, q(L)]$,

$$X_i = \oplus_{\gamma \in \mathscr{P}_\lambda,\ l(\gamma) = q(G) - i} \mathscr{R}^S_{\mathfrak{q}}(X^L(\gamma))$$

et,

$$\phi_j : X_{j-1} \longrightarrow X_j,$$
$$\phi_j = \oplus_{\gamma' \in \mathscr{P}_\lambda,\ l(\gamma') = q(G) - j + 1} \oplus_{\gamma \in \mathscr{P}_\lambda,\ l(\gamma) = q(G) - j} \phi_{\gamma, \gamma'}, \quad \phi^J_{\gamma, \gamma'} : X(\gamma') \longrightarrow X(\gamma)$$

Le morphisme $\phi^L_{\gamma, \gamma'}$ on l'appele le morphisme de Johnson entre $X(\gamma')$ et $X(\gamma)$.

Considérons à présent le groupe linéaire $\mathbf{GL}(N)$, $N = 2n$. Soit $J_N \in \mathbf{GL}(N, \mathbb{R})$ la matrice antidiagonale,

$$J_N = \begin{pmatrix} & & & 1 \\ & & -1 & \\ & \iddots & & \\ (-1)^{N+1} & & & \end{pmatrix}. \tag{7}$$

Sur $\mathbf{GL}(N)$ définissons l'automorphisme involutif, $g \mapsto J_N^{-1}({}^t g^{-1}) J_N$.

Soit δ une série discrète de $\mathbf{GL}(2, \mathbb{R})$ de caractère infinitésimal $(p/2, -p/2)$. Considérons le module standard,

$$\delta\nu^{-n+1} \times \cdots \times \delta\nu^{n-1}, \quad \nu = |\det|. \tag{8}$$

L'unique sous module irréductible de **(8)** on l'appel le module de Speh de $\mathbf{GL}(2n, \mathbb{R})$ basé sur δ, on le note $\mathbf{Speh}(\delta, n)$.

Le module de Speh, $\mathbf{Speh}(\delta, n)$, est une représentation unitaire admettant une $(\mathfrak{g}, K)$-cohomologie non triviale. Elle dispose en conséquence d'une résolution de Johnson. Dans cette résolution l'ensemble des modules standard intervenant est paramètre par le groupe symetrique $\mathfrak{S}_{N/2}$. Celle-ci est un groupe de Coxeter, qui est donc muni d'une fonction longueur $l_{\mathfrak{S}}$ et d'un ordre $\leq_B$. Dans cette paramétrisation à tout $s \in \mathfrak{S}_{N/2}$ on associe,

$$X(s) = \times_{i=1}^{n} \delta\left(\frac{-p-(n-1)}{2} + (i-1), \frac{p-(n-1)}{2} + (s(i)-1)\right),$$

et pour tout $i \in \{1, \cdots, \frac{n(n-1)}{2}\}$ le module X_i de **(6)** est définit comme la somme directe des modules standard $X(s)$ avec $l_{\mathfrak{S}}(s) = i$.

On dit d'une représentation π de $\mathbf{GL}(N, \mathbb{R})$ qu'elle est θ_N-invariante si π est équivalente à $\pi \circ \theta_N$. La représentation $\mathbf{Speh}(\delta, n)$ est θ_N-invariante, de plus, pour tout $s \in \mathfrak{S}_N$ le module standard $X(s)$ est θ_N-invariant si et seulement si s appartient à $\mathfrak{I}_n$, l'ensemble des involutions de $\mathfrak{S}_n$. Munissons $\mathfrak{I}_n$ de l'ordre induit par $\leq_B$. Sur $\mathfrak{I}_n$ on peut aussi définir une fonction longueur, que l'on note, $l_{\mathfrak{I}}$. L'objectif du présent article est de prouver,

Théorème 1.1. *Soit s_{max} l'élément maximal de $\mathfrak{S}_n$. Pour tout $i \in \{1, \cdots, l_{\mathfrak{I}}(s_{max})\}$ notons,*

$$X_{i,\theta} = \oplus_{s \in \mathfrak{I}_n, l_{\mathfrak{I}}(s)=i} X(s).$$

Alors il existe pour tout i, une flèche,

$$X_{i,\theta} \to X_{i+1,\theta}$$

de façon à ce que la suite,

$$0 \to \pi \to \cdots \to X_{i-1,\theta} \to X_{i,\theta} \to \cdots \to X_{l_{\mathfrak{I}}(s_{max}),\theta} \to 0, \tag{9}$$

définisse un complexe différentiel.

Le complexe **(9)** n'est certainement pas exact, mais on aimerait bien pouvoir montrer qu'il est θ_N-exacte, c'est-à-dire tel que la trace tordue des noyaux modulo les images des flèches soit nulle. Pour le moment on a reussi a prouver la θ_N-exactitude de **(9)** pour $\mathbf{Speh}(\delta, n)$ avec n plus petit ou égal a 4 ; $n = 4$ n'est pas un blocage, les méthodes employés pourraient certainement donner aussi $n = 5$ mais il faudrait une idée suplementaire pour traiter le cas général.

Sur chaque module standard considéré, on a une action de θ_N normalisée par le choix d'un modèle de Whittaker comme explique par J. Arthur. Ainsi chaque X_i a une action de θ_N notée $A_i(\theta_N)$.

Une conséquence de la θ-exactitude de **(9)** est la obtention dans le groupe de Grothendieck des représentation tordues de $\mathbf{GL}(N, \mathbb{R})$ de l'identité,

$$\mathbf{Speh}(\delta, n) = \sum_{i=0}^{l_{\mathfrak{J}}(s_{\max})} (-1)^i \mathrm{Tr}(X_i A_i(\theta_N)).$$

Cette égalité entre éléments du groupe de Grothendieck est obtenue différemment dans **[AMR]**, voir théorèmes **(9.5)** et **(9.7)** pour une preuve. La méthode utilisée dans **[AMR]** se base sur le calcul de l'action de l'automorphisme exterieur θ_N de $\mathbf{GL}(N)$ sur le complexe de Johnson qui résout $\mathbf{Speh}(\delta, n)$.

Parlons un peut sur la preuve du théorème **(1.1)**. Pour toute paire $s, s' \in \mathfrak{I}_n$ vérifiant $s' \leq_B s$ et $l_{\mathfrak{J}}(s') = l_{\mathfrak{J}}(s) - 1$, soit $s' = s_0 < s_1 < \cdots < s_{m-1} < s_m = s'$, avec $l_{\mathfrak{S}}(s_i) = l_{\mathfrak{S}}(s_{i+1}) - 1$, un chaîne d'éléments de $\mathfrak{S}_n$ aillent de s' vers s. Alors pour $s, s' \in \mathfrak{I}_n$ avec $s' \leq_B s$ et $l_{\mathfrak{J}}(s') = l_{\mathfrak{J}}(s) - 1$ nous allons définir,

$$\phi^J_{s,s'} = \phi^J_{s,s_{m-1}} \circ \cdots \circ \phi^J_{s_1,s'}.$$

On fait noter que par de propriétés de l'ordre de Bruhat sur $\mathfrak{S}_n$, la définition de $\phi^J_{s,s'}$, $s, s' \in \mathfrak{I}_n$ ne dépend pas du chemin choisit.

Si maintenant nous considérons un couple $s, s' \in \mathfrak{I}_n$ vérifiant $s' \not\leq_B s$ et $l_{\mathfrak{J}}(s') = l_{\mathfrak{J}}(s) - 1$, alors nous allons définir $\phi^J_{s,s'}$ comme le morphisme nul.

Prenons pour tout $s \in \mathfrak{I}_n$ une fonctionelle de Whittaker Ω_s du module standard $X(s)$. Pour toute paire $s, s' \in \mathfrak{I}_n$ vérifiant $s' \leq_B s$ et $l_{\mathfrak{J}}(s') = l_{\mathfrak{J}}(s) - 1$ la fonction $\phi^J_{s,s'}$ est surjective, la composition $\Omega_s \circ \phi^J_{s,s'}$ est en conséquence une fonctionelle de Whittaker non nulle pour $X(s')$, et de l'unicité multiplication par un scalaire près de la fonctionelle de Whittaker, il existe un scalaire $C \in \mathbb{C}^*$ de manière à ce que, $\Omega_{s'} = \Omega_s \circ C\phi_{s,s'}$. Nous allons donc pour tout couple $s, s' \in \mathfrak{I}_n$ tel que $s' \leq_B s$ et $l_{\mathfrak{J}}(s') = l_{\mathfrak{J}}(s) - 1$, définir,

$$\phi^{wh}_{s,s'} = C\phi^J_{s,s'}.$$

Si au contraire $s, s' \in \mathfrak{I}_N$ est tel que $s' \not\leq_B s$ et $l_{\mathfrak{J}}(s') = l_{\mathfrak{J}}(s) - 1$, alors nous allons définir $\phi^J_{s,s'}$ comme le morphisme nul.

Par de propriétés combinatoires de l'ordre de Bruhat sur $\mathfrak{S}_n$ et $\mathfrak{I}_n$ on peut montrer :

Proposition 1.1. *Soient $s, s' \in \mathfrak{I}_n$ vérifiant $s \leq_B s'$ et $l_{\mathfrak{J}}(s) = l_{\mathfrak{J}}(s') - 2$. Alors ils existent exactement deux éléments s_1 et s_2 dans $\mathfrak{I}_n$ de longueur $l_{\mathfrak{J}}(s) + 1$ tels que,*

$$s <_B s_1,\ s_2 <_B s'.$$

De plus,

$$\phi^{wh}_{s,s_1} \circ \phi^{wh}_{s_1,s'} = \phi^{wh}_{s,s_2} \circ \phi^{wh}_{s_2,s'}.$$

Par conséquent si pour toute paire $l, l' \in \mathfrak{I}_n$ vérifiant $l' <_B l$ et $l_{\mathfrak{J}}(l) - l_{\mathfrak{J}}(l') = 1$ nous prennons une constante $\lambda_{l,l'} \in \mathbb{C}$ et notons,

$$\phi^{\lambda}_{l,l'} = \lambda_{l,l'} \phi^{wh}_{l,l'},$$

alors pour tout couple $s, s' \in \mathfrak{I}_N$ avec $s' <_B s$ et $l_{\mathfrak{J}}(s) - l_{\mathfrak{J}}(s') = 2$ on aura,

$$\begin{aligned} \phi^{\lambda}_{s,s_1} \circ \phi^{\lambda}_{s_1,s'} + \phi^{\lambda}_{s,s_2} \circ \phi^{\lambda}_{s_1,s} &= \lambda_{s,s_1} \phi^{wh}_{s,s_1} \circ \lambda_{s_1,s'} \phi^{wh}_{s_1,s'} + \lambda_{s,s_2} \phi^{wh}_{s,s_2} \circ \lambda_{s_2,s'} \phi^{wh}_{s_1,s'} \\ &= (\lambda_{s,s_1} \cdot \lambda_{s_1,s'} + \lambda_{s,s_2} \cdot \lambda_{s_2,s'}) \left[\phi^{wh}_{s,s_1} \circ \phi^{wh}_{s_1,s'} = \phi^{wh}_{s,s_2} \circ \phi^{wh}_{s_2,s'} \right], \end{aligned} \tag{10}$$

avec s_1 et s_2 la paire d'éléments donnée par la proposition **(1.1)**.

La construction du complexe différentiel **(9)** se ramène donc à trouver pour toute paire $l, l' \in \mathfrak{I}_N$ avec $l_{\mathfrak{J}}(s) - l_{\mathfrak{J}}(s') = 1$, des scalaires $\lambda_{l,l'} \in \mathbb{C}$, avec $\lambda_{l,l'} \neq 0$ si $l' <_B l$, de manière à ce que dans l'equation **(10)**, la somme $\lambda_{s,s_1} \cdot \lambda_{s_1,s'} + \lambda_{s,s_2} \cdot \lambda_{s_2,s'}$ soit égal à zéro pour toute couple $s, s' \in \mathfrak{I}_n,\ l_{\mathfrak{J}}(s) - l_{\mathfrak{J}}(s') = 2$.

Le point delicat donc de la contruction de **(9)** est de bien choisir ces scalaires. Pour faire ceci on procède de la façon suivant ;

Soit, dans tout ce qui suit de cette introduction, $\mathbf{G}$ un groupe classique quasi-deployé définit sur les réels, c'est à dire, $\mathbf{Sp}(2n)$ ou $\mathbf{SO}(p,q)$ avec $p - q = 0, 1$ ou 2. Faisons remarquer que selon la terminologie d'Arthur les groupes classiques que nous considérons sont ceux qui apparaissent dans les données endoscopiques elliptiques simples des groups tordus $\mathbf{GL}(N) \rtimes \theta_N$.

Associé au module $\mathbf{Speh}(\delta, n)$ de $\mathbf{GL}(2n)$ on a un paramètre de Arthur,

$$\psi : W_{\mathbb{R}} \times \mathbf{SL}(2, \mathbb{C}) \longrightarrow \mathbf{GL}(2n, \mathbb{C}),$$

de caractère infinitésimal régulier et entier. Le module $\mathbf{Speh}(\delta, n)$ étant θ_{2n}-invariant, il existe un groupe classique $\mathbf{G}$ défini par une des options suivants,

$$\mathbf{G} = \begin{cases} \mathbf{SO}(n+1, n) & \text{si } \frac{p+n-1}{2} \in 2\mathbb{Z} + 1, \\ \mathbf{SO}(n, n) & \text{si } n \in 2\mathbb{N} \text{ et } \frac{p+n-1}{2} \in 2\mathbb{Z}, \\ \mathbf{SO}(n+1, n-1) & \text{si } n \in 2\mathbb{N}+1 \text{ et } \frac{p+n-1}{2} \in 2\mathbb{Z}, \end{cases}$$

et un paramètre d'Arthur $\psi_{\mathbf{G}}$ de $\mathbf{G}$ de façon à ce que,

$$\psi : W_{\mathbb{R}} \xrightarrow{\psi_{\mathbf{G}}} {}^L\mathbf{G} \xrightarrow{\iota} \mathbf{GL}(2n, \mathbb{C}),$$

où ι dénote l'inclusion standard.

Adams et Johnson **[AJ87]** on attaché à $\psi_{\mathbf{G}}$ un paquet de représentations irréductibles de $\mathbf{G}(\mathbb{R})$, noté $\Pi^{\mathrm{AJ}}_{\psi_{\mathbf{G}}}$. Toute représentation dans $\Pi^{\mathrm{AJ}}_{\psi_{\mathbf{G}}}$ est unitaire et avec de la $(\mathfrak{g}, K)$-cohomologie non triviale.

D'après la classification fait par Vogan-Zuckerman pour toute représentation $\pi \in \Pi^{\mathrm{AJ}}_{\psi_{\mathbf{G}}}$ il existe un caractère λ_π d'un groupe de Levi $\mathbf{L}(\mathbb{R})$ de $\mathbf{G}(\mathbb{R})$ tel que $\pi = \mathscr{R}^S_{\mathfrak{q}}$. Les groupe de Levi qui vont intervenir dans notre context sont les groupes unitaires $\mathbf{U}(p,q),\ p+q=n$.

Fixons $\pi \in \Pi^{\mathrm{AJ}}_{\psi_{\mathbf{G}}}$ de façon à ce que le groupe de Levi associé, $\mathbf{L} = \mathbf{U}(p,q)$, soit quasi-deployé. Pour $\mathbf{L}$ l'ensemble $\Pi_{\lambda_\pi}(\mathbf{L}(\mathbb{R}))$ des représentations irréductibles dont le caractère infinitésimal est égal à celui de λ_π est paramètre par l'ensemble $\mathfrak{I}_n^{p,q,\pm}$ dont les éléments sont des couples, (η, f_η) où $\eta \in \mathfrak{I}_n$ et f_η est une application de l'ensemble des points fixes de η dans $\{\pm 1\}$ véerifiant en plus la condition supleméntaire etablie par l'equation **(22)**. Dans cette description la partition de $\Pi_\lambda(\mathbf{L})$ en L-paquets est particulièrement simple, deux paramètres η et $\eta' \in \mathfrak{I}_n^{p,q,\pm}$ correspondent à des représentations dans le même L-paquet si et seulement si les involutions sous-jacentes η et η' dans $\mathfrak{I}_n$ sont égales. Ce paramétrage de l'ensemble $\Pi_{\lambda_\pi}(\mathbf{L}(\mathbb{R}))$ a par conséquence que pour λ_π la résolution de Johnson s'écrit,

$$0 \to \lambda_\pi \to \cdots \to X_i^L \to X_{i+1}^L \cdots \to X^L_{l_{\mathfrak{I}}(s_{\max})} \to 0. \tag{11}$$

où pour tout $i \in [1, l_{\mathfrak{I}}(s_{\max})]$,

$$\begin{aligned} X_i^L &:= \oplus_{\eta \in \mathfrak{I}_n, l_{\mathfrak{I}}(\eta)=i} \Theta_\eta \\ \Theta_\eta &:= \oplus_{\{\overline{\eta}=(\zeta,f_\zeta)\in \mathfrak{I}_n^{p,q,\pm}, \zeta=\eta\}} X(\overline{\zeta}). \end{aligned}$$

Soit $\varphi_{\eta,\mathbf{L}}$ le L-paramètre de $\mathbf{L}$ associé à l'élément $\eta \in \mathfrak{I}_n$, c'est le L-paramètre attaché au pseudo-paquet des représentations intervenant dans la somme, $\Theta_\eta = \oplus_{\{\overline{\eta}=(\zeta,f_\zeta)\in \mathfrak{I}_n^{p,q,\pm}, \zeta=\eta\}} X(\overline{\zeta})$. Notons par $\iota_{\mathbf{G},\mathbf{L}}$ l'inclusion ${}^L\mathbf{L} \hookrightarrow {}^G\mathbf{G}$ et considérons le L-paramètre de $\mathbf{GL}(N)$ donné par la composition,

$$\varphi_\eta : W_{\mathbb{R}} \xrightarrow{\varphi_{\eta,\mathbf{L}}} {}^L\mathbf{L} \xrightarrow{\iota_{\mathbf{G},\mathbf{L}}} {}^L\mathbf{G} \xrightarrow{\iota} \mathbf{GL}(N).$$

Soit $X(\eta)$ le module standard de $\mathbf{GL}(N,\mathbb{R})$ attaché à φ_η, alors l'application,

$$\Theta_\eta \mapsto X(\eta)$$

définit une bijection entre l'ensemble des modules standard stables, Θ_η, intervenant dans la résolution de Johnson de λ_π est l'ensemble des modules standard θ_N-invariants de $\mathbf{GL}(N,\mathbf{R})$ intervenant dans la suite **(29)**.

En conséquence, pour trouver les constants nécessaires à la contruction du complexe **(9)** on s'appuie sur la suite **(37)** et plus particulièrement sur de propriétés du morphisme de Johnson $\varphi^J_{\overline{\eta},\overline{\eta}'}$ entre $X(\overline{\eta})$ et $X(\overline{\eta}')$, $l_{\mathfrak{I}}(\eta') = l_{\mathfrak{I}}(\eta) - 1$. On dispose des deux résultats suivants :

Lemme 1.1. *Soient* $\overline{\eta} = (\eta, f_\eta), \overline{\eta}' = (\eta', f_{\eta'}) \in \mathfrak{I}_n^{p,q,\pm}$ *tels que* $\eta' <_B \eta$, $l_\mathfrak{J}(\eta') = l_\mathfrak{J}(\eta) - 1$ *et tels que les modules standards* $X(\overline{\eta})$ *et* $X(\overline{\eta}')$ *admettent de fonctionnelles de Whittaker non nulles. Alors* $\varphi^J_{\overline{\eta},\overline{\eta}'} \neq 0$ *et* $Im(\varphi_{\overline{\eta},\overline{\eta}'})$ *possède un quotient générique.*

Proposition 1.2. *Soit* $\mathbf{G}$ *un groupe classique quasi-deployé ; linéaire, unitaire orthogonal ou symplectique, et* X *un module standard générique de* $\mathbf{G}(\mathbb{R})$ *de caractère infinitesimal entier et régulier. Alors* X *admet un unique sous-quotient irréductible générique, lequel apparaît avec multiplicité un.*

Considérons une famille $\{\overline{\eta}, \overline{\eta}', \overline{\eta}_1, \overline{\eta}_2\}$, vérifiant $\eta' < \eta_i < \eta$, $l_\mathfrak{J}(\eta') = l_\mathfrak{J}(\eta_i) - 1 = l_\mathfrak{J}(\eta) - 2$, $i = 1, 2$ et tel que pour tout $\overline{\mu}$ dans la famille $X(\overline{\mu})$ admet une fonctionelle de Whittaker non nulle. Notons par $\Omega_{\overline{\eta}}, \Omega_{\overline{\eta}'}, \Omega_{\overline{\eta_1}}$ et $\Omega_{\overline{\eta}_2}$ les fonctionnelles de Whittaker respectifs.

D'après le lemme **(1.1)**, pour toute paire $\zeta, \zeta' \in \mathfrak{I}_N$ vérifiant $\zeta' <_B \zeta$ et $l_\mathfrak{J}(\zeta') = l_\mathfrak{J}(\zeta) - 1$, l'image $\mathrm{Im}(\varphi^J_{\overline{\zeta},\overline{\zeta}})$ contient un sous-quotient générique si on peut dire de même de $X(\overline{\zeta})$ et $X(\overline{\zeta}')$. En conséquence, de la proposition **(1.2)**,

$$\Omega(\overline{\eta}_i) \circ \varphi^J_{\overline{\eta}_i,\overline{\eta}'} \quad \text{et} \quad \Omega(\overline{\eta}) \circ \varphi^J_{\overline{\eta},\overline{\eta}_i},$$

définisent des fonctionelles de Whittaker non nulles pour $X(\overline{\eta}_i)$ $i = 1, 2$, et $X(\overline{\eta})$, respectivement. Par l'unicité de la fonctionelle de Whittaker il existent de constants $\beta_{\eta_i,\eta'}$ et β_{η,η_i}, $i = 1, 2$, de manière à ce que,

$$\Omega(\overline{\eta}') = \Omega(\overline{\eta}_i) \circ \beta_{\eta_i,\eta'} \varphi^J_{\overline{\eta}_i,\overline{\eta}'} \quad \text{et} \quad \Omega(\overline{\eta}_i) = \Omega(\overline{\eta}) \circ \beta_{\eta,\eta_i} \varphi^J_{\overline{\eta},\overline{\eta}_i},$$

Notons,

$$\varphi^{wh}_{\overline{\eta}_i,\overline{\eta}'} = \beta_{\eta_i,\eta'} \phi^J_{\overline{\eta}_i,\overline{\eta}'} \quad \text{et} \quad \phi^{wh}_{\overline{\eta},\overline{\eta}_i} = \beta_{\eta,\eta_i} \varphi^J_{\overline{\eta},\overline{\eta}_i}.$$

Comme,

$$\varphi^J_{\overline{\eta},\overline{\eta}_1} \circ \varphi^J_{\overline{\eta}_1,\overline{\eta}'} + \varphi^J_{\overline{\eta},\overline{\eta}_2} \circ \varphi^J_{\overline{\eta}_2,\overline{\eta}'} = 0,$$

il nous est possible de montrer que,

$$\varphi^{wh}_{\overline{\eta},\overline{\eta}_1} \circ \varphi^{wh}_{\overline{\eta}_1,\overline{\eta}'} = \varphi^{wh}_{\overline{\eta},\overline{\eta}_2} \circ \varphi^{wh}_{\overline{\eta}_2,\overline{\eta}'}.$$

D'où on obtient,

$$\begin{aligned} 0 &= \varphi^J_{\overline{\eta},\overline{\eta}_1} \circ \varphi^J_{\overline{\eta}_1,\overline{\eta}'} + \varphi^J_{\overline{\eta},\overline{\eta}_2} \circ \varphi^J_{\overline{\eta}_2,\overline{\eta}'} \\ &= \beta^{-1}_{\eta,\eta_1} \varphi^{wh}_{\overline{\eta},\overline{\eta}_1} \circ \beta^{-1}_{\eta_1,\eta'} \varphi^{wh}_{\overline{\eta}_1,\overline{\eta}'} + \beta^{-1}_{\eta,\eta_2} \varphi^{wh}_{\overline{\eta},\overline{\eta}_2} \circ \beta^{-1}_{\eta_2,\eta'} \varphi^{wh}_{\overline{\eta}_2,\overline{\eta}'} \\ &= (\beta^{-1}_{\eta,\eta_1} \cdot \beta^{-1}_{\eta_1,\eta'} + \beta^{-1}_{\eta,\eta_2} \cdot \beta^{-1}_{\eta_2,\eta'})(\varphi^{wh}_{\overline{\eta},\overline{\eta}_1} \circ \varphi^{wh}_{\overline{\eta}_1,\overline{\eta}'} + \varphi^{wh}_{\overline{\eta},\overline{\eta}_2} \circ \varphi^{wh}_{\overline{\eta}_2,\overline{\eta}'}), \end{aligned}$$

ce qui nous permet de conclure l'égalité,

$$\beta^{-1}_{\eta,\eta_1} \cdot \beta^{-1}_{\eta_1,\eta'} + \beta^{-1}_{\eta,\eta_2} \cdot \beta^{-1}_{\eta_2,\eta'} = 0. \tag{12}$$

Par conséquent si pour toute paire $s, s' \in \mathfrak{I}_n$, vérifiant $s' <_B s$ et $l_{\mathfrak{I}}(s') = l_{\mathfrak{I}}(s) - 1$, nous définissons,

$$\phi_{s,s'} = \lambda_{s,s'}\phi^{\mathrm{wh}}_{s,s'}, \quad \text{où } \lambda_{s,s'} = \beta^{-1}_{s,s'}.$$

Alors la suite **(9)** construit à partir des morphismes

$$\phi_i : X_{i-1,\theta} \to X_{i,\theta},$$
$$\phi_i = \oplus_{s\in\mathfrak{I}_n, l_{\mathfrak{I}}(s)=i} \oplus_{s'\in\mathfrak{I}_n, l_{\mathfrak{I}}(s')=i-1} \phi_{s,s'},$$

est un complexe différentiel.

1.1 Plan du papier

Le plan du papier est le suivant. Dans la section trois nous introduisons l'ordre de Bruhat $\leq_B$ sur le groupe symetrique $\mathfrak{S}_N$. Nous donnons une définition de longueur sur $\mathfrak{S}_N$ et sur le sous ensemble $\mathfrak{I}_N$ des involutions de celui-ci, en plus d'énoncer les principales propriétés satisfait par cette fonction longueur. La section quatre concerne, la théorie de représentation de $\mathbf{GL}(N,\mathbb{R})$, elle est divisée en trois parties. Dans un premier temp nous rappelons une paramétrisation de l'ensemble de représentations irréductibles dont le caractère infinitésimal est celui d'une représentation de dimension fini de $\mathbf{GL}(N,\mathbb{R})$, par l'ensemble $\mathfrak{I}_N^{\bullet,\pm}$, des involutions avec points fixes En suite nous introduisons l'ensemble des représentations θ_N invariantes. La section quatre s'achève avec la définition du module de Speh basé sur une série discrète. La section cinq s'intéresse à la théorie de represéntation du groupe unitaire $\mathbf{U}(p,q,\mathbb{R}),\ p+q=N$, comme pour $\mathbf{GL}(N,\mathbb{R})$ on rappelle un paramétrage combinatoire des représentations irréductibles dont le caractère infinitésimal est celui d'une représentation de dimension fini de $\mathbf{GL}(N,\mathbb{R})$. La preuve commence dans la section six. Celle-ci s'ouvre avec un rappel des résultats de la thèse de Johnson qui donnent des résolutions pour les représentations qui nous intéressent. En suite nous contruissons **(9)**, ramenons la preuve de **(1.1)** à la solution d'un système d'équations et montrons le lemme **(1.1)** et la proposition **(1.2)**, ce qui a comme conséquence la veracité du théorème **(1.1)**. Nous finissons avec la preuve de la θ-exactitude de **(9)** pour $\mathbf{Speh}(\delta,n)$ avec n plus petit ou égal à 4. La section **(5.3)** traite le cas de $\mathbf{Speh}(\delta,6)$ et la section **(5.4)** celui de $\mathbf{Speh}(\delta,8)$.

2 Notations

Dans cet article, nous nous intéressons à la théorie de représentation des groupes algébriques suivants :

i. Le groupe linénaire $\mathbf{GL}(N),\ N\in\mathbb{N}$.

ii. Le groupe unitaire $\mathbf{U}(p,q),\ p,q\in\mathbb{N}$.

iii. Les groupes classiques $\mathbf{Sp}(2n),\ n\in\mathbb{N}$ et $\mathbf{SO}(p,q), p,q\in\mathbb{N}$ avec $p-q=0,1$ ou 2.

Soit $\mathbf{G}$ un groupe algébrique défini par une des trois possibilités précédents. Dans tout ce qui suit, nous allons supposer fixé une involution de Cartan τ de $\mathbf{G}$, de sorte que le sous-groupe $K = \mathbf{G}(\mathbb{R})^\tau$ des points fixes de τ dans $\mathbf{G}(\mathbb{R})$ soit un sous-groupe compact maximal de $\mathbf{G}(\mathbb{R})$. Par exemple, si $\mathbf{G} = \mathbf{GL}(N)$ alors,

$$\tau : g \mapsto {}^t g^{-1}$$

et $K = \mathbf{O}(N, \mathbb{R})$. Maintenant, si $\mathbf{G} = \mathbf{U}(p, q)$ alors

$$\tau : g \mapsto {}^t \bar{g}^{-1}$$

et $K = \mathbf{U}(p, \mathbb{R}) \times \mathbf{U}(q, \mathbb{R})$.

Soit $\mathcal{M} = \mathcal{M}(\mathbf{G}(\mathbb{R}), \tau)$ la categorie des modules de Harish-Chandra pour la paire $(\mathfrak{g}, K)$, $\mathfrak{g}$ la complexification de l'algèbre de Lie du groupe de Lie $\mathbf{G}(\mathbb{R})$. Notons $\Pi(\mathbf{G}(\mathbb{R}))$ l'ensemble des classes d'équivalence de modules irréductibles dans $\mathcal{M}$. Si F est une représentation irréductible de dimension finie de $\mathbf{G}(\mathbb{R})$, notons $\Pi_F(\mathbf{G}(\mathbb{R}))$ l'ensemble des éléments de $\Pi(\mathbf{G}(\mathbb{R}))$ dont le caractère infinitésimal est égal à celui de F.

Dans **[BB81]** Beilinson et Bernstein proposent une paramétrization de $\Pi_F(\mathbf{G}(\mathbb{R}))$ par un ensemble de paramètres, noté $\mathscr{P}_F$. Dans cette parametrization à chaque paramètre $\gamma \in \mathscr{P}_F$, Beilinson et Bernstein associent un module standard $X(\gamma)$. Ce module standard possède la propriété de ne contenir qu'un seul sous-module irréductible que l'on note $\overline{X(\gamma)}$. La bijection établissant la classification est,

$$\gamma \in \mathscr{P}_F \mapsto \overline{X(\gamma)} \in \Pi_F(\mathbf{G}(\mathbb{R})).$$

Dans **[Vog83]**, David Vogan munit l'ensemble $\Pi_F(\mathbf{G}(\mathbb{R}))$ d'un ordre partiel $\leq$ appelé $\mathcal{G}$-ordre de Bruhat ainsi que d'une fonction longueur,

$$l : \mathscr{P}_\chi \to \mathbb{Z}.$$

L'ordre de Bruhat et la longueur étant définis sur l'ensembles des paramètres $\mathscr{P}_F$ on peut par transport de structure, les définir sur les $\Pi_F(\mathbf{G}(\mathbb{R}))$ ou bien sur tout autre ensemble de paramètres en bijection avec $\Pi_{\mathbf{G}(\mathbb{R})}(F)$.

L'ordre de Bruhat et la longueur possèdent les propriétés fondamentales suivantes,

Proposition 2.1. ***i.*** *Soient γ, γ' dans $\mathscr{P}_F$ avec $\gamma \leq \gamma'$. Alors $l(\gamma) \leq l(\gamma')$. Si $\gamma \leq \gamma'$ et $l(\gamma) \leq l(\gamma')$, alors $\gamma = \gamma'$. D'autre part, si $\gamma \leq \gamma'$ et il n'existe pas d'élément strictement compris entre γ et γ' dans le $\mathcal{G}$-ordre de Bruhat, alors $\gamma = \gamma'$ ou bien $l(\gamma') = l(\gamma) + 1$.*
ii. *Soient $\gamma, \gamma' \in \mathscr{P}_F$ tels que $\overline{X(\gamma)} \in \mathrm{J.H}(X(\gamma))$. Alors $\gamma \leq \gamma'$. Si de plus $l(\gamma') = l(\gamma)$ ou $l(\gamma') = l(\gamma) + 1$ alors $\overline{X(\gamma)}$ apparaît dans $\mathrm{J.H}(X(\gamma))$ avec multiplicité 1.*

Parlons un peut sur l'ensemble $\mathscr{P}_F$. Notons pour cela par $\mathscr{B}$ la variété des drapeaux de $\mathfrak{g}$ et $K_\mathbb{C}$ la complexification du sous-groupe compact maximal K. Alors $\mathscr{P}_F$ est constitué par des couples $\gamma = (Q, \chi)$ où Q est une $K_\mathbb{C}$-orbite dans $\mathscr{B}$ et χ est un fibré en droite holomorphe plat $K_\mathbb{C}$-homogène sur Q. Les modules $X(\gamma)$ et $\overline{X(\gamma)}$ sont obtenus à partir de γ par la théorie de la localisation de Beilinson-Bernstein, **[BB81]**.

Si maintenant nous considérons le cas du groupe linéaire $\mathbf{G} = \mathbf{GL}(N)$, alors $\mathbf{K} = \mathbf{O}(N)$ et les $\mathbf{O}(N,\mathbb{C})$-orbites sur la variété des drapeaux $\mathscr{B}$ de $\mathbf{GL}(N,\mathbb{C})$ sont paramètrées par les involutions dans le groupe symétrique $\mathfrak{S}_N$. Notons $\mathfrak{I}_N$ l'ensemble des involutions dans $\mathfrak{S}_N$ on a donc une bijection entre $\mathfrak{I}_N$ et $\mathbf{O}(N,\mathbb{C})/\mathscr{B}$. Danc la section **(4.1)** nous introduisons l'ensemble $\mathfrak{I}_N^{\bullet,\pm}$ des involutions avec points fixes signés formés des couples, (η, f_η) où $\eta \in \mathfrak{I}_N$ et f_η est une application de l'ensemble des points fixes de η dans $\{\pm 1\}$. Ce donnée supplémentaire permet de construir un élément de $\mathscr{P}_\chi$ et donc d'obtenir une bijection entre $\mathfrak{I}_N^{\bullet,\pm}$ et $\Pi_F(\mathbf{G}(\mathbb{R}))$.

Passons au cas du groupe unitaire $\mathbf{G} = \mathbf{U}(p,q)$. Posons $p+q = N$. On a $K \cong \mathbf{U}(p) \times \mathbf{U}(q)$ et $K_{\mathbb{C}} = \mathbf{GL}(p,\mathbb{C}) \times \mathbf{GL}(p,\mathbb{C})$. Dans la section **(5.1)** nous donnons un paramétrage combinatoire de $K_{\mathbb{C}}/\mathscr{B}$ et donc de $\Pi_F(\mathbf{G}(\mathbb{R}))$, car pour ce groupe $K_{\mathbb{C}}/\mathscr{B} \cong \Pi_F(\mathbf{G}(\mathbb{R}))$. Cet paramétrage est fait à partir d'un ensemble noté $\mathfrak{I}_N^{p,q,\pm}$ qui, tel tel comme pour $\mathbf{GL}(N)$, est constitué par des couples, (η, f_η) où $\eta \in \mathfrak{I}_N$ et f_η est une une application de l'ensemble des points fixes de η dans $\{\pm 1\}$, véerifiant en plus la condition supleméntaire etablie par l'equation **(22)**.

Maintenant qu'on a pu constater l'importance de l'ensemble des involutions $\mathfrak{I}_N$ dans la paramétrisation de $\Pi_F(\mathbf{G}(\mathbb{R}))$ passons à donner une description plus en détail de cet ensemble.

3 L'ensemble des involutions du groupe symétrique

3.1 Ensemble partiellement ordonné

Soit P un ensemble fini partiellement ordonné. Nous allons dire que P est borné s'il existe un élément $\hat{1} \in P$ et un élémént $\hat{0} \in P$ tel que pour tout $x \in P$ on a $\hat{0} \leq x \leq \hat{1}$. Pour tout $x, y \in P$ avec $x \leq y$ notons,

$$[x,y] = \{z \in P : x \leq z \leq y\}.$$

L'ensemble $[x,y]$ on l'appelle un intervalle de P. Si $x, y \in P$ avec $x < y$, une chaîne de x à y de longueur k est un k-uplet $(x_0, x_1, \cdots, x_k)$ tel que $x = x_0 < x_1 < \cdots < x_k = y$. Pour tout couple $x, y \in P$ on dit que y couvre x si $x < y$ et il n'existe pas $z \in P$ tel que $x < z < y$. Une chaîne $x_0 < x_1 < \cdots < x_k$ de P se dit alors saturée si pour tout $0 \leq i \leq k-1$, x_{i+1} couvre x_i. Finalement on dit que P est gradué de rang n si P est borné avec tous les chaînes maximales de même longueur n.

Definition 3.1. *Soit P un ensemble fini partiellement ordonné, pure et gradué. Alors on dit que P est shellable s'il existe une relation d'ordre totale sur l'ensemble des chaînes maximales, $C_1, C_2, \cdots, C_k$, de P tel que, pour tout $i < j$ il existe $t < j$ tel que,*

$$C_i \cap C_j \subset C_t \cap C_j, \text{ et } |C_t \cap C_j| = |C_j| - 1.$$

Definition 3.2. *Pour P un ensemble fini partiellement ordonné, notons,*

$$C(P) = \{(x, y) \in P^2,\ x \text{ est couvert par } y\}.$$

Soit Q un ensemble fini totalement ordonné. Un edge labelling de P avec valeurs dans Q est une application $\lambda : C(P) \to Q$. Si lambda est un edge labelling de P, pour toute chaîne saturée $x_0 < x_1 < \cdots < x_k$ notons,

$$\lambda(x_0, x_1, \cdots, x_k) = (\lambda(x_0, x_1), \lambda(x_1, x_2), \cdots, \lambda(x_{k-1}, x_k))$$

Un edge labelling est dit un EL-labelling, si pour tout $x, y \in P$ avec $x < y$ on a le deux propriétés suivants,

i. Il existe une unique chaîne saturée $x_0 < x_1 < \cdots < x_k$ tel que la suite $\lambda(x_0, x_1, \cdots, x_k)$ est non décroissant, c'est-à-dire tel que $\lambda(x_0, x_1) \leq \lambda(x_1, x_2) \leq \cdots \leq \lambda(x_{k-1}, x_k)$.

ii. Toute autre chaîne saturée $y_0 < y_1 < \cdots < y_k$ différent de $x_0 < x_1 < \cdots < x_k$, est tel que, $\lambda(x_0, x_1, \cdots, x_k) <_L \lambda(y_0, y_1, \cdots, y_k)$, où $<_L$ désigne l'ordre lexicographique : $(a_0, a_1, \cdots, a_k) <_L (b_0, b_1, \cdots, b_k)$ si et seulement si $a_i < b_i$, $i = min\{j \leq k : a_j \neq b_j\}$.

Alors nous allons dire que P est lexicographique shellable ou El-shellable s'il possède un El-labelling.

Théorème 3.1. *Soit P un ensemble fini partiellement ordonné, gradué. Si P est El-shellable alors P est shellable.*

Preuve. Voir théorème **(2.3)** de **[Bjö80]**. □

3.2 L'ordre de Bruhat sur les involutions du groupe symétrique

Cette section est issus-presque tel quel de l'annexe **A** de **[AMR]**.

Soit $\mathfrak{S}_N$ le groupe symétrique, c'est-à-dire l'ensemble des bijections de l'ensemble $\{1, \cdots, N\}$ dans lui même. C'est un groupe de Coxeter, qui est donc muni de sa fonction longueur $l_{\mathfrak{S}}$ et de son ordre de Bruhat $\leq_B$ associé.

Si $s \in \mathfrak{S}_N$, on définit l'ensemble des inversions de s,

$$\mathrm{Inv}(s) = \{(i, j) \in \{1, \cdots, N\}^2 : i < j \text{ et } s(i) > s(j)\}$$

et l'on note $\mathrm{inv}(s)$ le cardinal de cet ensemble. La longueur dans $\mathfrak{S}_N$ est alors définie par,

$$l_{\mathfrak{S}}(s) = \mathrm{inv}(s), \quad (s \in \mathfrak{S}_N).$$

L'ordre de Bruhat $\leq_B$ de $\mathfrak{S}_N$, est la relation d'ordre partielle dans $\mathfrak{S}_N$ obtenue après fermeture transitive de la relation $\to$ définie par,

$$\sigma \to \tau \text{ ssi il existe une transposition } t_{i,j} \text{ tel que } \tau = \sigma t_{i,j} \text{ et } \mathrm{inv}(\sigma) \leq \mathrm{inv}(\tau).$$

L'ordre de Bruhat est gradué par la fonction longueur $l_{\mathfrak{S}}$, c'est-à-dire que,

i. Si $s \leq_B s'$, alors $l_{\mathfrak{S}}(s) \leq l_{\mathfrak{S}}(s')$.

ii. Si $s \leq_B s'$, et $l_{\mathfrak{S}}(s) = l_{\mathfrak{S}}(s')$ alors $s = s'$.

iii. Si $s <_B s'$, et s'il n'existe pas $t \in \mathfrak{S}_N$ tel que $s <_B <_B t <_B s'$, alors $l_{\mathfrak{S}}(s) = l_{\mathfrak{S}}(s') - 1$.

Soit $s \in \mathfrak{S}_N$. On appelle montée de s un couple $(i,j) \in \{1, \cdots, N\}^2$ tel que $i < j$ et $s(i) < s(j)$. On dit qu'une montée (i,j) de s est libre s'il n'existe pas de k tel que $i < k < j$ et $s(i) < s(k) < s(j)$. L'ordre de Bruhat est alors totalement déterminé par les propriétés **i.**, **ii.**, **iii.** et,

iv. $s \leq_B s'$ avec $l_{\mathfrak{S}}(s) = l_{\mathfrak{S}}(s') - 1$ si et seulements s'il existe une montée libre (i,j) de s et $s' = st_{i,j}$, où $t_{i,j}$ désigne la transposition de $\mathfrak{S}_N$ échangeant i et j.

En particulier $\mathfrak{S}_N$ possède un élément minimal, de longueur nulle, à savoir l'identité, que nous notons Id, et un élément maximal, $s_{\max}$ de longueur $\frac{N(N-1)}{2}$, définit par $t_{1,N}t_{2,N-1}\cdots t_{\frac{N}{2},\frac{N}{2}+1}$ si N est pair et $t_{1,N}t_{2,N-1}\cdots t_{\frac{N-1}{2},\frac{N-1}{2}+1}$ si N est impair, où $t_{i,j}$ désigne la transposition de $\mathfrak{S}_N$ échangeant i et j.

Considérons maintenant l'ensemble $\mathfrak{I}_N$ des involutions dans $\mathfrak{S}_N$, et munissons-le de l'ordre induit par $\leq_B$. Il est lui-aussi munit d'une fonction longueur. Pour la définir, pour tout $s \in \mathfrak{I}_N$ notons,

$$\mathrm{Exc}(s) = \{i \in \{1, \cdots, N\} : s(i) > i\}$$

et $\mathrm{exc}(s)$ le cardinal de cet ensemble. Posons alors,

$$l_{\mathfrak{I}}(s) = \frac{\mathrm{inv}(s) + \mathrm{exc}(s)}{2}.$$

L'ordre de Bruhat sur $\mathfrak{I}_N$ est alors gradué par $l_{\mathfrak{I}}$, c'est-à-dire que les proprétés **i.**, **ii.**, **iii.** et une propriété analogue à **iv**, que nous n'avons pas besoin de expliciter, sont vérifiés pour $\mathfrak{I}_N$ en remplaçant $l_{\mathfrak{S}}$ par $l_{\mathfrak{I}}$. Remarquons aussi que Id et $s_{\max}$ sont dans $\mathfrak{I}_N$ et sont donc respectivement les éléments minimaux et maximaux de $\mathfrak{I}_N$.

La longuer $l_{\mathfrak{S}}$ et $l_{\mathfrak{I}}$ satisfont le résultat suivant ;

Lemme 3.1. *Soient $s, s' \in \mathfrak{I}_N$ tels que $s \leq_B s'$ et $l_{\mathfrak{I}}(s) = l_{\mathfrak{I}}(s') - 1$. Alors*

$$l_{\mathfrak{S}}(s) - l_{\mathfrak{S}}(s') =, 1, 2 \text{ ou } 3.$$

Preuve. Voir point **i** du lemme **(A.1)** de l'annexe **A** de **[AMR]**. □

Notons à présent $Z = \{(i,j) \in \{1, \cdots, N\}^2 : i < j\}$ et soit, $\lambda_{\mathfrak{I}} : C(\mathfrak{S}_N) \to Z$ le labelling défini pour $(\sigma_1, \sigma_2) \in C(\mathfrak{S}_N)$ avec $\sigma_2 = \sigma_1 t_{i,j}$ par,

$$\lambda_{\mathfrak{S}}(\sigma_1, \sigma_2) = (i,j).$$

P.H. Edelman démontre dans **[Ede81]** (théorème à la fin de la page 356) :

Théorème 3.2. *L'ensemble $\mathfrak{S}_N$ est El-shellable (voir définition **(3.2)**) avec $\lambda_{\mathfrak{S}}$ comme El-labelling.*

De manière analogue, sur $\mathfrak{I}_N$ on peut en suivant le travaux de F.Incitti de définir,

$$\lambda_{\mathfrak{I}} : C(\mathfrak{I}_N) \to Z$$
$$\lambda_{\mathfrak{I}}(\tau_1, \tau_2) = (i, j), \quad \text{où } \tau_2 = ct_{i,j}\tau_1.$$

avec l'élément $\tau_2 = ct_{i,j}\tau_1$ donné comme dans la définition **(3.2)** de **[Inc04]**. Cette défintion permet ensuite à F.Incitti de demontrer (théorème **(6.2)** de **[Inc04]**) :

Théorème 3.3. *L'ensemble $\mathfrak{I}_N$ est El-shellable (voir définition **(3.2)**) avec $\lambda_{\mathfrak{I}}$ comme El-labelling.*

Le résultat qui suit est une consequénce du théorème **3.2** et du théorème **3.3** :

Lemme 3.2. *Soient $s, s' \in \mathfrak{S}_N$ (respectivement $s, s' \in \mathfrak{I}_N$) vérifiant $s \leq_B s'$ et $l_{\mathfrak{I}}(s) = l_{\mathfrak{I}}(s') - 2$ (respectivement $l_{\mathfrak{S}}(s) = l_{\mathfrak{S}}(s') - 2$). Alors ils existent exactement deux éléments s_1 et s_2 dans $\mathfrak{S}_N$ (respectivement dans $\mathfrak{I}_N$) de longueur $l_{\mathfrak{S}}(s)+1$ (respectivement $l_{\mathfrak{I}}(s)+1$) tels que,*

$$s <_B s_1,\ s_2 <_B s'.$$

Preuve. Voir lemme **(A.2)** et proposition **(A.3)** de l'annexe **A** de **[AMR]**. □

Pour finir avec cette section, supposons N pair. Alors dans $\mathfrak{I}_N$ considérons le sous-ensemble $\mathfrak{I}_N^s$ des involutions sans points fixes, envoyant $\{1, \cdots, N/2\}$ sur $\{N/2+1, \cdots, N\}$. Munissons le de l'ordre induit. Pour $\mathfrak{I}_N^s$ on a le résultat suivant :

Proposition 3.1. *L'ensemble $\mathfrak{I}_N^s$ est un intervalle dans $\mathfrak{I}_N$ avec $t_{1,N/2+1}t_{2,N/2+2}\cdots t_{N/2-1,N}$ comme élément minimal et s_{max} comme élément maximal. De plus le morphisme,*

$$\sigma : \mathfrak{I}_N \to \mathfrak{S}_N$$
$$\sigma(s)(i) = s(i) - \frac{N}{2}, \quad i \in \{1, \cdots, N\},$$

définit un isomorphisme entre $\mathfrak{I}_N^s$ et le groupe symétrique $\mathfrak{S}_{N/2}$.

Preuve. Voir proposition **(A.4)** de l'annexe **A** de **[AMR]**. □

4 L'ensembles des représentations irréductibles du groupe lineaire

4.1 Paramétrisation de Beilinson-Bernstein pour $\mathbf{GL}(N, \mathbb{R})$

Fixons une représentation de dimension finie F de $\mathbf{GL}(N, \mathbb{R})$ et considérons l'ensemble $\Pi_F(\mathbf{GL}(N, \mathbb{R}))$ des représentations de $\mathbf{GL}(N, \mathbb{R})$ dont le caractère infinitésimal

est égal à celui de F. Le caractère infinitésimal de F est entier et régulier, il est donc donné par $(\lambda_1, \cdots, \lambda_N) \in \mathbb{C}^N$ tel que pour tout i et j distincts, $\lambda_i - \lambda_j \in \mathbb{N}^\times$. On peut de plus permuter les λ_i de sorte que pour tout $i \in \{1, \cdots, N\}$, $\lambda_{i+1} - \lambda_i \in \mathbb{N}$.

Soit $\mathscr{P}_F$ l'ensemble des paramètres de Beilinson-Bernstein introduit dans **[BB81]**. Rappelons que $\mathscr{P}_F$ est constitué par des couples $\gamma = (Q, \chi)$ où Q est une $\mathbf{O}(N, \mathbb{C})$-orbite dans $\mathscr{B}$, la varieté de drapeaux de $\mathfrak{gl}_n$, et χ est un fibré en droite holomorphe plat $\mathbf{O}(N, \mathbb{C})$-homogène sur Q. L'ensemble $\mathscr{P}_F$ est, d'après le travaux de Beilinson-Bernstein, en bijection avec $\Pi_F(\mathbf{GL}(N, \mathbb{R}))$.

On voudrait donner un paramètrage combinatoire de $\mathscr{P}_F$. On sait que les $\mathbf{O}(N, \mathbb{C})$-orbites sur la variété des drapeaux $\mathscr{B}$ de $\mathbf{GL}(N, \mathbb{C})$ sont paramètrées par les involutions dans le groupe symétrique $\mathfrak{S}_N$. Pour étendre cette bijection en une paramètrization de $\mathscr{P}_F$, introduisons l'ensemble $\mathfrak{I}_N^{\bullet,\pm}$ des involutions avec point fixes signés formés des couples (η, f_η) où $\eta \in \mathfrak{I}_N$ est une involution dans $\mathfrak{S}_N$ et f_η est une application de l'ensemble des pointes fixes de η dans $\{\pm 1\}$. Cette donnée suplémentaire concédée par l'attribution d'un signe à chaque point fixe d'un élément $\eta \in \mathfrak{I}_N$ est justement l'information qu'il faut pour construire une bijection entre $\mathfrak{I}_N^{\bullet,\pm}$ et $\Pi_F(\mathbf{GL}(N, \mathbb{R}))$, voir **[AMR]**, section **(4.2)**, pour la construction de cet isomorphisme.

Par conséquent entre $\mathfrak{I}_N^{\bullet,\pm}$ et $\Pi_F(\mathbf{GL}(N, \mathbb{R}))$ on obtient,

$$\mathfrak{I}_N^{\bullet,\pm} \cong \mathscr{P}_F \cong \Pi_F(\mathbf{GL}(N, \mathbb{R})).$$

Donnons une déscripton plus détaillé de cette bijection entre $\mathfrak{I}_N^{\bullet,\pm}$ et l'ensemble de représentations $\Pi_F(\mathbf{GL}(N, \mathbb{R}))$.

Sur $\mathbf{GL}(N, \mathbb{R})$ définissons,

$$\begin{aligned} \nu_N : \mathbf{GL}(N, \mathbb{R}) &\to \mathbb{R}^* \\ g &\mapsto |\det g|, \end{aligned}$$

et pour toute paire $t_1, t_2 \in \mathbb{C}$ avec $t_1 - t_2 \in \mathbb{Z}$, soit,

$$\delta(t_1, t_2),$$

la série discrète de $GL(2, \mathbb{R})$ de caractère infinitésimal (s_1, s_2).

Prennons un élément $\overline{\eta} = (\eta, f_\eta) \in \mathfrak{I}_N^{\bullet,\pm}$. La représentation de $\Pi_F(G)$ associé à $\overline{\eta}$ est obtenue de la manière suivant ; on décompose l'involution η en cycles τ : ceux-ci sont des point fixes ou bien des transpositions. Chaque point fixe $i = \eta(i)$ donne une représentation,

$$\delta_{\eta,(i)} = \epsilon_i \nu^{\lambda_i}$$

de $GL(1, \mathbb{R})$, où $\epsilon_i \in \{\mathbf{Triv}, \mathbf{sgn}\}$ dépend du signe $f_\eta(i)$ attaché au point fixe i d'une manieère que nous n'avons pas besoin d'expliciter, mais qui depend de la représentation de dimension finie F fixée au départ. Chaque transposition (ij) avec $i < j$ donne une série discrète de $GL(2, \mathbb{R})$,

$$\delta_{\eta,(ij)} = \delta(\lambda_i, \lambda_j).$$

La représentation de $\Pi_F(G)$ associée à $\overline{\eta}$ est l'unique sous-module irréductible, noté $\overline{X}(\overline{\eta})$, du module standard,

$$X(\overline{\eta}) = \times^{\rightarrow}_{\tau \text{ cycle de } \eta} \delta_{s,\tau}. \tag{13}$$

La flèche au dessus du produit est pour indiquer que le produit est écrit dans un ordre standard (Voir definition **(4.3)** de **[AMR]**).

4.2 Représentations θ-invariants de $\mathbf{GL}(N,\mathbb{R})$

Soit $J_N \in \mathbf{GL}(N,\mathbb{R})$ la matrice antidiagonale,

$$J_N = \begin{pmatrix} & & & 1 \\ & & -1 & \\ & \iddots & & \\ (-1)^{N+1} & & & \end{pmatrix}. \tag{14}$$

Sur le groupe linéaire $\mathbf{GL}(N)$ définissons l'automorphisme involutif,

$$\theta_N : \mathbf{GL}(N) \to \mathbf{GL}(N), \tag{15}$$

$$g \mapsto J_N^{-1}({}^t g^{-1}) J_N. \tag{16}$$

L'automorphisme θ_N nous amène à définir ;

Definition 4.1. *On dit d'une représentation π de $\mathbf{GL}(N,\mathbb{R})$ qu'elle est θ_N-invariante si π est équivalente à $\pi^{\theta_N} := \pi \circ \theta_N$.*

Cette section a comme objectif, la description l'ensemble de représentation irréductibles et θ_N-invariants de $\mathbf{GL}(N,\mathbb{R})$.

Fixons une représentation de dimension finie F de $\mathbf{GL}(N,\mathbb{R})$ que l'on suppose θ_N invariant et considérons l'ensemble de représentations $\pi \in \Pi_F(\mathbf{GL}(N,\mathbb{R}))$. D'après la caractèrisation fait par l'equation **(13)** il existe un élément $\overline{\eta} = (\eta, f_\eta) \in \mathfrak{I}_N^{\bullet,\pm}$ de manière à ce que π soit l'unique sous-module irréductible du module standard,

$$\begin{aligned} X(\overline{\eta}) &= \times^{\rightarrow}_{\tau \text{ cycle de } \eta} \delta_{\eta,\tau} \\ &= \mathrm{Ind}_P(\otimes^{\rightarrow}_{\tau \text{ cycle de } \eta} \delta_{\eta,\tau}), \end{aligned}$$

où P est un sous-groupe parabolique de levi,

$$M = \Pi^{\rightarrow}_{\tau \text{ cycle de } \eta} \mathbf{GL}(n_\tau,\mathbb{R}), \quad n_\tau = \begin{cases} 1, & \text{si } \tau \text{ est un point fixe,} \\ 2, & \text{si } \tau \text{ est une transposition} \end{cases}$$

contenant l'ensemble des matrices triangulaires supérieures de $\mathbf{GL}(N,\mathbb{R})$.

Considérons l'opérateur défini pour tout $f \in X(\eta),\ g \in \mathbf{GL}(N,\mathbb{R})$ par,

$$\vartheta(f)(g) = f(\theta_N(g)).$$

Il est facile de voir que ϑ est un isomorphisme qui entrelace,

$$X(\overline{\eta})^{\theta_N} \quad \text{et} \quad \mathrm{Ind}_{\theta_N(P)}((\otimes^{\rightarrow}_{\tau \text{ cycle de } \eta}\delta_{\eta,\tau})^{\theta_N}).$$

Comme en plus $\pi^{\theta_N} \cong \overline{\mathrm{Ind}_{\theta_N(P)}(\pi_M^{\theta_N})}$ on obtient que π est isomorphe à π^{θ_N} si et seulement si,

$$\theta_N(P) = P \quad \text{et} \quad \otimes^{\rightarrow}_{\tau \text{ cycle de } \eta}\, \delta_{\eta,\tau} \cong (\otimes^{\rightarrow}_{\tau \text{ cycle de } \eta}\delta_{\eta,\tau})^{\theta_N}.$$

Considérons maintenant l'élément $\overline{\eta}^{\theta} = (\eta^{\theta}, f_{\eta^{\theta}}) \in \mathfrak{I}_N^{\bullet,\pm}$ défini pour tout $i \in \{1, \cdots, N\}$ par,

$$\begin{aligned} \eta^{\theta}(i) &= j \ \text{ si et seulement si } \ \eta(n+1-i) = n+1-j, \\ f_{\eta^{\theta}}(i) &= f_{\eta^{\theta}}(n+1-i), \ \text{ si } i \text{ est un point fixe.} \end{aligned}$$

Alors on peut facilement vérifier que,

$$(\otimes^{\rightarrow}_{\tau \text{ cycle de } \eta}\delta_{\eta,\tau})^{\theta_N} = \otimes^{\rightarrow}_{\tau' \text{ cycle de } \eta^{\theta}}\delta_{\eta^{\theta},\tau'}$$

et que $\theta_N(P) = P'$ avec P' le un sous-groupe parabolique de levi,

$$M' = \Pi^{\rightarrow}_{\tau' \text{ cycle de } \eta^{\theta}}\mathbf{GL}(n_{\tau'}, \mathbb{R}), \quad n_{\tau'} = \begin{cases} 1, & \text{si } \tau' \text{ est un point fixe,} \\ 2, & \text{si } \tau' \text{ est une transposition} \end{cases}$$

contenant l'ensemble des matrices triangulaires supérieures de $\mathbf{GL}(N, \mathbb{R})$. En conséquence,

$$X(\overline{\eta})^{\theta_N} \cong X(\overline{\eta}^{\theta}),$$

et d'après la bijection $\mathfrak{I}_N^{\bullet,\pm} \to \Pi_F(GL(N, \mathbb{R}))$, on obtient $\pi^{\theta} \cong \overline{X}(\overline{\eta}^{\theta})$. L'éffet donc de θ_N sur $\mathfrak{I}_N^{\bullet,\pm}$ via la bijection $\mathfrak{I}_N^{\bullet,\pm} \cong \Pi_F(GL(N, \mathbb{R}))$ est donné pour tout $\overline{\eta} = (\eta, f_{\eta}) \in \mathfrak{I}_N^{\bullet,\pm}$ par,

$$\overline{\eta} \mapsto \theta_N(\overline{\eta}) = \overline{\eta}^{\theta} = (\eta^{\theta}, f_{\eta^{\theta}}). \tag{17}$$

D'òu $\pi = \overline{X}(\overline{\eta}) \cong \overline{X}(\overline{\eta}^{\theta}) = \pi^{\theta_N}$ si et seulement si $\overline{\eta} = \theta_N(\overline{\eta}) = \overline{\eta}^{\theta}$.

4.3 Le module de Speh

Soit $p, n \in \mathbb{N}^{\times}$ tels que $p > n-1$. Notons par $\delta = \delta(p/2, -p/2)$ la série discrète de $\mathbf{GL}(2, \mathbb{R})$ de caractère infinitésimal $(p/2, -p/2)$ et considérons le module standard de $\mathbf{GL}(2n, \mathbb{R})$,

$$\delta\nu^{-\frac{n-1}{2}} \times \delta\nu^{-\frac{n-3}{2}} \times \cdots \times \delta\nu^{\frac{n-1}{2}}. \tag{18}$$

L'unique sous module irréductible de **(18)** on le note $\mathbf{Speh}(\delta, n)$. Le caractère infinitésimal de $\mathbf{Speh}(\delta, n)$ est donné par,

$$\left(\frac{-p-(n-1)}{2}, \frac{-p-(n-3)}{2}, \cdots, \frac{p+(n-1)}{2}\right) \tag{19}$$

et la condition $p > n-1$ assure que ce caractère infinitésimal est bien entier et régulier. C'est donc le caractère infinitésimal d'une représentation de dimension finie F de $\mathbf{GL}(2n, \mathbb{R})$. Rappelons la bijection entre l'ensemble des involutions avec points fixes signés $\mathfrak{I}_N^{\bullet,\pm}$ et l'ensemble de représentations $\Pi_F(\mathbf{GL}(N, \mathbb{R}))$. Dans cette bijections, $\mathbf{Speh}(\delta, n)$ correspond à l'involution sans points fixes s_0 définie par,

$$s_0 = n + i, \quad i = 1, 2, \cdots, n-1.$$

L'involution s_0 est l'élément minimal dans $\mathfrak{I}_N^s$, l'ensemble des involutions sans point fixes envoyant $\{1, \cdots, N/2\}$ sur $\{N/2+1, \cdots, N\}$. D'après la proposition **(3.1)**, $\mathfrak{I}_N^s$ est un intervalle dans $\mathfrak{I}_N$ avec $s_{\max}$ comme élément maximal. De plus $\mathfrak{I}_N^s \cong \mathfrak{S}_n$ et comme $\mathfrak{I}_N^s$ est naturellement un sous-ensemble de $\mathfrak{I}_N^{\bullet,\pm}$, la bijection $\mathfrak{I}_N^{\bullet,\pm} \to \Pi_F(\mathbf{GL}(N, \mathbb{R}))$ associe, par la formule **(13)**, à tout élément $s \in \mathfrak{S}_n \cong \mathfrak{I}_N^s$ l'unique sous-module irréductible $\overline{X}(s)$ de la représentation standard de $\mathbf{GL}(2n, \mathbb{R})$ donée par,

$$X(s) = \times_{i=1}^n \delta\left(\frac{-p-(n-1)}{2} + (i-1), \frac{p-(n-1)}{2} + (s(i)-1)\right). \tag{20}$$

Parlons un peut sur l'ensemble des sous-quotients irréductibles de $X(s_0)$. Pour pouvoir faire ceci notons que l'ordre de Bruhat sur $\mathfrak{I}_N$ est lie au ordre naturel sur $\mathbf{O}(N, \mathbb{C}) \setminus \mathscr{B}$ (Voir **[AMR]** equation **(2.1)** pour une description de cette ordre) par le résulat suivant ;

Proposition 4.1. *L'ordre naturel sur $\mathbf{O}(N, \mathbb{C})\backslash\mathscr{B}$ coïncide avec l'ordre de Bruhat inversé sur $\mathfrak{I}_N$.*

Preuve. Voir **[RS90]** section **(10.2)**. □

Cette dernière proposition unie à la proposition **(3.1)** a comme conséquence le résultat suivant ;

Proposition 4.2. *La représentation π de $\mathbf{GL}(2n, \mathbb{R})$ est un sous-quotient irréductible de $I(\delta, n)$ si et seulement si il existe une permutation $s \in \mathfrak{S}_n$ tel que $\pi \cong \overline{X}(s)$.*

Dans la section précédent on a vu que l'action de θ_N sur l'ensemble $\mathfrak{I}_N^{\bullet,\pm}$ est donnée par l'équation **(17)**. En particulier, $\mathfrak{I}_N^s$ est stabilisé par θ_N et comme $\mathfrak{I}_N^s \cong \mathfrak{S}_n$, il est facil de voir que l'action induite par θ_N sur ce dernier ensemble est, pour tout $s \in \mathfrak{S}_N$, donnée par,

$$s \mapsto s^{-1}.$$

Par conséquent $X(s) \cong X(s)^{\theta_N} \cong X(s^{-1})$ si et seulement si $s^2 = \mathrm{Id}$, c'est-à-dire si et seulement si $s \in \mathfrak{I}_n$.

Pour finir avec cette section traduisson l'effet du lemme **(3.2)** sur l'ensemble des modules standards $X(s),\ s \in \mathfrak{I}_n$. Faisons d'abord noter que, si $s \geq s'$ et $l_{\mathfrak{S}}(s) = l_{\mathfrak{S}}(s')+1$, alors $s = s't_{i,j}$ pour une certaine montée libre (i,j), voir point **iv.** à la fin de la page 12. Par conséquent si nous ecrivons,

$$X(s') = \delta_1 \times \cdots \times \delta_i \times \cdots \times \delta_j \times \cdots \delta_n,$$

avec,

$$\delta_i = \delta\left(\frac{-p-(n+1)+2i}{2}, \frac{-p-(n+1)+2s'(i)}{2}\right),$$
$$\delta_j = \delta\left(\frac{-p-(n+1)+2j}{2}, \frac{-p-(n+1)+2s'(j)}{2}\right).$$

Pour $X(s)$ on a,

$$X(s) = \delta_1 \times \cdots \times \delta_i \times \cdots \times \delta_j \times \cdots \delta_n$$

avec,

$$\delta_i = \delta\left(\frac{-p-(n+1)+2i}{2}, \frac{-p-(n+1)+2s'(j)}{2}\right),$$
$$\delta_j = \delta\left(\frac{-p-(n+1)+2j}{2}, \frac{-p-(n+1)+2s'(i)}{2}\right).$$

Considérons maintenant $s, s' \in \mathfrak{I}_n$ avec $s \geq s'$ et $l_{\mathfrak{I}}(s) = l_{\mathfrak{I}}(s') + 1$. Alors pour $X(s)$ et $X(s')$ on a trois posibilités,

i. Si $l_{\mathfrak{S}}(s') = l_{\mathfrak{S}}(s) - 1$ il existe une montée libre (i,j) avec $s'(i) = j$ de façon à ce que,

$$s = s't_{i,j}.$$

Par conséquent si $X(s') = \times_{k=1}^{n}\delta'_k$ pour $X(s)$ on obtient $X(s) = \times_{k=1}^{n}\delta_k$ avec $\delta'_k = \delta_k$ si $k \neq i,j$ et,

$$\delta'_i = \delta\left(\frac{-p-(n+1)+2i}{2}, -\frac{-p-(n+1)+2i}{2}\right),$$
$$\delta'_j = \delta\left(\frac{-p-(n+1)+2j}{2}, -\frac{-p-(n+1)+2j}{2}\right).$$

ii. Si $l_{\mathfrak{S}}(s') = l_{\mathfrak{S}}(s)-2$ alors pour $X(s)$ et $X(s')$ on a une des deux posibilités suivants.
a.) Il existe une montée libre (i,j) avec $s'(i) \neq i$ et $s'(j) \neq j$ de façon à ce que,

$$s = s't_{i,j}t_{s'(j),s'(i)}.$$

Par conséquent si $X(s') = \times_{k=1}^{n} \delta'_k$ pour $X(s)$ on obtient $X(s) = \times_{k=1}^{n} \delta_k$ avec $\delta'_k = \delta_k$ si $k \neq i, j, s'(i), s'(j)$ et,

$$\begin{aligned}
\delta_i &= \delta\left(\frac{-p-(n+1)+2i}{2}, -\frac{-p-(n+1)+2s'(j)}{2}\right),\\
\delta_{s'(i)} &= \delta\left(\frac{-p-(n+1)+2s'(i)}{2}, -\frac{-p-(n+1)+2j}{2}\right),\\
\delta_j &= \delta\left(\frac{-p-(n+1)+2j}{2}, -\frac{-p-(n+1)+2s'(i)}{2}\right),\\
\delta_{s'(j)} &= \delta\left(\frac{-p-(n+1)+2s'(j)}{2}, -\frac{-p-(n+1)+2i}{2}\right).
\end{aligned}$$

b. Il existe une montée libre (i, j) avec $s'(i) \neq i$ et $s'(j) = j$ de façon à ce que,

$$s = s' t_{i,j} t_{j,s'(i)} \text{ ou } s = s' t_{i,j} t_{i,s'(i)}.$$

Par conséquent si $X(s') = \times_{k=1}^{n} \delta_k$, pour $X(s)$ on obtient $X(s) = \times_{k=1}^{n} \delta_k$ avec $\delta'_k = \delta_k$ si $k \neq i, j, s'(i)$ et,

$$\begin{aligned}
\delta_i &= \delta\left(\frac{-p-(n+1)+2i}{2}, \frac{-p-(n+1)+2j}{2}\right),\\
\delta_{s'(i)} &= \delta\left(\frac{-p-(n+1)+2s'(i)}{2}, \frac{-p-(n+1)+2s'(i)}{2}\right),\\
\delta_j &= \delta\left(\frac{-p-(n+1)+2j}{2}, \frac{-p-(n+1)+2i}{2}\right), \text{ si } s = s' t_{i,j} t_{j,s'(i)},
\end{aligned}$$

ou,

$$\begin{aligned}
\delta_i &= \delta\left(\frac{-p-(n+1)+2i}{2}, \frac{-p-(n+1)+2i}{2}\right),\\
\delta_{s'(i)} &= \delta\left(\frac{-p-(n+1)+2s'(i)}{2}, \frac{-p-(n+1)+2j}{2}\right),\\
\delta_j &= \delta\left(\frac{-p-(n+1)+2j}{2}, \frac{-p-(n+1)+2s'(i)}{2}\right), \text{ si } s = s' t_{i,j} t_{i,s'(i)}.
\end{aligned}$$

iii. Si $l_{\mathfrak{S}}(s') = l_{\mathfrak{S}}(s) - 3$ il existe une montée libre (i, j) avec $s'(i) \neq i$, $s'(j) = j$ et un entier $l \in \{1, \cdots, n\}$ tel que $s'(l) = l$ et $(l, s(i))$ est une montée libre, de façon à ce que,

$$s = s' t_{i,j} t_{l,s(i)} t_{j,l}.$$

Par conséquent si $X(s') = \times_{k=1}^{n} \delta'_k$ pour $X(s)$ on obtient $X(s) = \times_{k=1}^{n} \delta_k$ avec $\delta'_k = \delta_k$ si

$k \neq i, s(i), j, l$ et,

$$\begin{aligned}
\delta_i &= \delta\left(\frac{-p-(n+1)+2i}{2}, -\frac{-p-(n+1)+2j}{2}\right),\\
\delta_j &= \delta\left(\frac{-p-(n+1)+2j}{2}, -\frac{-p-(n+1)+2i}{2}\right),\\
\delta_l &= \delta\left(\frac{-p-(n+1)+2l}{2}, -\frac{-p-(n+1)+2s'(i)}{2}\right),\\
\delta_{s'(i)} &= \delta\left(\frac{-p-(n+1)+2s'(i)}{2}, \frac{-p-(n+1)+2l}{2}\right).
\end{aligned}$$

5 L'ensembles des représentations irréductibles du groupe unitaire

5.1 Paramétrisation de Beilinson-Bernstein pour $\mathbf{U}(p,q,\mathbb{R})$

Intéressons-nous à présent au groupe unitaire $\mathbf{U}(p,q)$. Posons $p+q=N$ et fixons une représentation F de dimension finie de $\mathbf{U}(p,q,\mathbb{R})$. Rappelons que l'ensemble de représentations $\Pi_F(\mathbf{U}(p,q,\mathbb{R}))$ est paramètre par l'ensemble $\mathscr{P}_F$ des paramètres de Beilinson-Bernstein. Celui-ci est constitué par des couples (Q,χ) avec Q une $\mathbf{GL}(p,\mathbb{C})\times\mathbf{GL}(q,\mathbb{C})$-orbite dans $\mathscr{B}$, la variete de drapeaux de $\mathfrak{u}(p,q)$, et χ un fibré en droite holomorphe plat $\mathbf{GL}(p,\mathbb{C})\times\mathbf{GL}(q,\mathbb{C})$-homogène sur Q. Pour $\mathbf{U}(p,q)$ un phénomène assez remarquable se produit : Tout fibré en droite est conjugué au fibré trivial, d'où $\mathscr{P}_F \cong \mathbf{GL}(p,\mathbb{C})\times\mathbf{GL}(q,\mathbb{C})\setminus\mathscr{B}$ et donc,

$$\Pi_F(\mathbf{U}(p,q,\mathbb{R})) \cong \mathbf{GL}(p,\mathbb{C})\times\mathbf{GL}(q,\mathbb{C})\setminus\mathscr{B}. \tag{21}$$

Donnons comme pour $\mathbf{GL}(N)$ un paramétrage combinatoire de $\mathbf{GL}(p,\mathbb{C})\times\mathbf{GL}(q,\mathbb{C})\setminus\mathscr{B}$. Introduisons pour cela l'ensemble $\mathfrak{I}_N^{p,q,\pm}$ dont les éléments sont des couples (η, f_η), où $\eta\in\mathfrak{I}_N$ et f_η est une application de l'ensemble des points fixes de η à valeurs dans $\{\pm1\}$ qui vérifie, si l'on note m le nombre de 2-cycles dans la décomposition en cycles de η

$$m+|f_\eta^{-1}(\{1\})| = p, \quad m+|f_\eta^{-1}(\{-1\})| = q. \tag{22}$$

Adoptons une notation symbolique pour les éléments de $\mathfrak{I}_n^{p,q,\pm}$. Soit $\overline{\eta}=(\eta,f_\eta)\in\mathfrak{I}_n^{p,q,\pm}$, alors $\overline{\eta}$ on l'identifie à la n-tuple $(c_1,\cdots,c_n)$, où $c_i = f_\eta(i) = \pm$ si $\eta(i)=i$, et $c_i=c_j\in\mathbb{N}$ si $\eta(i)=j$, avec tout nombre naturel apparaissent exactament deux fois.

Par exemple, pour $(p,q)=(2,1)$, on a,

$$\mathfrak{I}_3^{2,1,\pm} = \{(1+1),(11+),(+11),(++-),(+-+),(++-)\}.$$

A.Yamamoto, dans **[Yam97]**, théorème **(2.2.8)**, donne une paramétrisation de $\mathbf{GL}(p,\mathbb{C})\times\mathbf{GL}(q,\mathbb{C})\setminus\mathscr{B}$ par $\mathfrak{I}_N^{p,q,\pm}$. Ce qui a comme conséquence la suite de bijections suivants,

$$\mathfrak{I}_N^{p,q,\pm} \cong \mathbf{GL}(p,\mathbb{C})\times\mathbf{GL}(q,\mathbb{C})\setminus\mathscr{B} \cong \Pi_F(\mathbf{U}(p,q,\mathbb{R})). \tag{23}$$

Dans cette description, la partition de $\Pi_F(\mathbf{U}(p,q,\mathbb{R}))$ en L-paquets est particulièrement simple, deux paramètres $\overline{\eta}$ et $\overline{\eta}' \in \mathfrak{I}_N^{p,q,\pm}$ correspondent à des représentations dans le même L-paquet si et seulement si les involutions sous-jacentes η et η' dans $\mathfrak{I}_N$ sont égales.

De plus l'isomorphisme $\mathfrak{I}_N^{p,q,\pm} \cong \mathbf{GL}(p,\mathbb{C}) \times \mathbf{GL}(q,\mathbb{C}) \setminus \mathscr{B}$ permet par transport de structure, définir à partir de l'ordre naturel sur $\mathbf{GL}(p,\mathbb{C}) \times \mathbf{GL}(q,\mathbb{C}) \setminus \mathscr{B}$ un ordre sur $\mathfrak{I}_N^{p,q,\pm}$. Cet ordre sur $\mathfrak{I}_N^{p,q,\pm}$ induit un ordre sur $\mathfrak{I}_N$ via la projection naturelle $\mathfrak{I}_N^{p,q,\pm} \to \mathfrak{I}_N$ et il est possible de montrer qu'il coïncide avec le ordre de Bruhat, $\leq_B$, sur $\mathfrak{I}_N$. Notons, comme expliqué dans **[Yam97]**, que les arêtes du diagramme de Hasse de $\mathfrak{I}_N^{p,q,\pm}$ sont obtenues lorsque l'écriture symbolique d'un élément $\overline{\eta}' \in \mathfrak{I}_N^{p,q,\pm}$ est obtenue à partir de celle pour $\overline{\eta} \in \mathfrak{I}_N^{p,q,\pm}$ soit en remplaçant deux symboles consécutifs de la forme aa, $a \in \mathbb{N}$ par $(+-)$ ou $(-+)$, soit en permutant deux symboles consécutifs qui ne sont pas tout deux des signes, il faut ensuite ajouter toutes les arêtes obtenues par la condition d'echange de **[MT09]** (figure **(3)**). Par exemple, pour $(p,q) = (2,1)$, le diagramme de Hasse de $\mathfrak{I}_3^{2,1,\pm}$ est donné par,

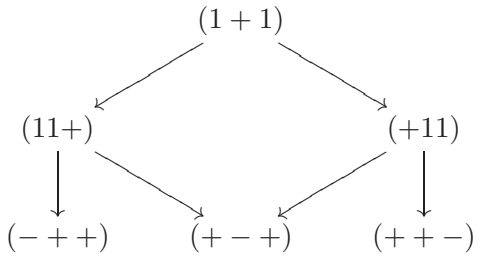

(24)

Finissons cette section avec le résultat suivant :

Proposition 5.1. *Soient $\overline{\eta} = (\eta, f_\eta)$, $\overline{\eta}' = (\eta', f_{\eta'}) \in \mathfrak{I}_N^{p,q,\pm}$ tels que $l_\jmath(\eta') = l_\jmath(\eta) - 1$. Alors, la multiplicité $m(\overline{X(\overline{\eta})}, X(\overline{\eta}'))$ de $\overline{X(\overline{\eta})}$ dans la suite de Jordan-Holder de $X(\overline{\eta}')$, est différent de zéro, si et seulement si $\overline{\eta}' <_B \overline{\eta}$.*

Preuve. D'après le corollaire **(7.2)** de **[Vog83]**, pour $\overline{X(\overline{\eta}')}$ on a dans le groupe de Grothendieck des représentations de $\mathbf{U}(p,q)(\mathbb{R})$, l'égalité,

$$\overline{X(\overline{\eta}')} = \sum_{\substack{\overline{\eta} \in \mathfrak{I}_N^{p,q,\pm} \\ l_\jmath(\eta') < l_\jmath(\eta)}} (-1)^{l(\eta)-l(\eta')} P_{\overline{\eta},\overline{\eta}'}(1) X(\overline{\eta}),$$

où $P_{\overline{\eta},\overline{\eta}'}$ est le polynôme de Kazhdan-Lusztig-Vogan associé au couple $(\overline{\eta}, \overline{\eta}')$. Comme

$P_{\overline{\eta}',\overline{\eta}'}=1$, pour $X(\overline{\eta}')$ on obtient,

$$\begin{aligned}X(\overline{\eta}') &= \overline{X(\overline{\eta}')} + \sum_{\substack{\overline{\eta}\in\mathfrak{I}_N^{p,q,\pm}\\ l_{\mathfrak{I}}(\eta')=l_{\mathfrak{I}}(\eta)-1}} P_{\overline{\eta},\overline{\eta}'}(1)X(\overline{\eta}) + \sum_{\substack{\overline{\eta}\in\mathfrak{I}_N^{p,q,\pm}\\ l_{\mathfrak{I}}(\eta')<l_{\mathfrak{I}}(\eta)-1}} (-1)^{l_{\mathfrak{I}}(\eta)-l_{\mathfrak{I}}(\eta)'+1}P_{\overline{\eta},\overline{\eta}'}(1)X(\overline{\eta})\\ &= \overline{X(\overline{\eta}')} + \sum_{\substack{\overline{\eta}\in\mathfrak{I}_N^{p,q,\pm}\\ l_{\mathfrak{I}}(\eta')=l_{\mathfrak{I}}(\eta)-1}} P_{\overline{\eta},\overline{\eta}'}(1)\overline{X(\overline{\eta})}\\ &\qquad + \sum_{\substack{\overline{\eta}\in\mathfrak{I}_N^{p,q,\pm}\\ l_{\mathfrak{I}}(\eta')=l_{\mathfrak{I}}(\eta)-1}}\ \sum_{\substack{\overline{\zeta}\in\mathfrak{I}_N^{p,q,\pm}\\ l_{\mathfrak{I}}(\eta)<l_{\mathfrak{I}}(\zeta)-1}} (-1)^{l_{\mathfrak{I}}(\zeta)-l_{\mathfrak{I}}(\eta)+1}P_{\overline{\zeta},\overline{\eta}}(1)X(\overline{\zeta})\\ &\quad + \sum_{\substack{\overline{\eta}\in\mathfrak{I}_N^{p,q,\pm}\\ l_{\mathfrak{I}}(\eta')<l_{\mathfrak{I}}(\eta)-1}} (-1)^{l_{\mathfrak{I}}(\eta)-l_{\mathfrak{I}}(\eta)'+1}P_{\overline{\eta},\overline{\eta}'}(1)X(\overline{\eta}).\end{aligned}$$

D'où, $m(\overline{X(\overline{\eta})},X(\overline{\eta}'))=P_{\overline{\eta},\overline{\eta}'}(1)$ pour tout $\overline{\eta}$ avec $l_{\mathfrak{I}}(\eta')=l_{\mathfrak{I}}(\eta)-1$. Mais, de la proposition **(6.14)** de **[Vog83]** on peut en déduire pour tout $\overline{\eta}$ avec $l_{\mathfrak{I}}(\eta')=l_{\mathfrak{I}}(\eta)-1$ que, $P_{\overline{\eta},\overline{\eta}'}(1)\neq 0$ si et seulement si $\overline{\eta}'<_B\overline{\eta}$. On peut dire même plus, car d'après la formule recursive donne par cette proposition on conclut pour $\overline{\eta}'<_B\overline{\eta}$ avec $l_{\mathfrak{I}}(\eta')=l_{\mathfrak{I}}(\eta)-1$ que $P_{\overline{\eta},\overline{\eta}'}=P_{\overline{\eta}',\overline{\eta}'}=1$. □

6 Un complexe différentiel pour les modules de Speh θ-invariants

6.1 Construction du complexe différentiel

Soit $p,n\in\mathbb{N}^{\times}$ tels que $p>n-1$ et soit $\mathbf{Speh}(\delta,n)$ la représentation de Speh de $\mathbf{GL}(2n,\mathbb{R})$ définie dans la section **(4.3)**.

Dans la section **(4.3)**, nous avons vu que les représentations plus petits que $\mathbf{Speh}(\delta,n)$ correspondent, via la bijection $\mathfrak{I}_{2n}^{\bullet,\pm}\longrightarrow\mathbf{GL}(2n,\mathbb{R})$, au sous-ensemble $\mathfrak{I}_{2n}^{s}\cong\mathfrak{S}_n$ de $\mathfrak{I}_{2n}^{\bullet,\pm}$. D'après le théorème **(1)** de la section **(6)** de **[Joh84]**, ces paramètres coincident avec ceux des représentations standard intervenant dans la résolution de Johnson de $\mathbf{Speh}(\delta,n)$. Par conséquent pour $\mathbf{Speh}(\delta,n)$ la résolution de Johnson s'écrit,

$$0\to\mathbf{Speh}(\delta,n)\to I(\delta,n)\to X_1\to\cdots\to X_{i-1}\xrightarrow{\phi_i^J}X_i\cdots\to X_{\frac{n(n-1)}{2}}\to 0 \qquad (25)$$

où,

$$X_i=\oplus_{s\in\mathfrak{S}_n,l_{\mathfrak{S}}(s)=i}X(s)$$

avec pour tout $s\in\mathfrak{S}_n$, $X(s)$ défini par **(20)** et pour chaque $i=1,\cdots,\frac{n(n-1)}{2}$, $\phi_i^J: X_{i-1}\longrightarrow X_i$ défini par,

$$\phi_i^J=\oplus_{s\in\mathfrak{S}_n,\ l_{\mathfrak{S}}(s)=j}\oplus_{s'\in\mathfrak{S}_n,\ l_{\mathfrak{S}}(s)=j-1}\phi_{s,s'}^J,\quad \phi_{s,s'}^J: X(s')\longrightarrow X(s). \qquad (26)$$

Le morphismme $\phi^J_{s,s'}$ on l'appelle le morphisme de Johnson entre $X(s')$ et $X(s)$. D'après le résulat suivant tout morphisme entre $X(s')$ et $X(s)$ est proportionnel au morphisme de Johnson.

Lemme 6.1. *Soient s et s' une pair d'éléments de $\mathfrak{S}_n$, verifiant $l_{\mathfrak{S}}(s') < l_{\mathfrak{S}}(s)$. Si $s' \not\leq_B s$ alors* $\dim \mathrm{Hom}(X(s'), X(s)) = m(\overline{X}(s), X(s')) = 0$. *Si $s' \leq_B s$ et $l(s) < l(s') - 1$ alors* $\dim \mathrm{Hom}(X(s'), X(s)) = m(\overline{X}(s), X(s')) = 1$ *et tout morphisme non nul de cet espace est surjectif.*

Considérons maintenant l'ensemble $\mathfrak{I}_n$ des involutions de $\mathfrak{S}_n$. Rappelons que $\mathfrak{I}_n$, muni de l'ordre induit par celui de $\mathfrak{S}_n$, est lui aussi gradué par une fonction longueur que nous avons noté $l_{\mathfrak{I}}$.

Nous avons vu dans la section **(4.2)** que pour tout $s \in \mathfrak{I}_n$ le modules standard $X(s)$ associé, est θ_N-invariant. Définissons donc pour tout $i \in [1, l_{\mathfrak{I}}(s_{\max})]$ l'espace,

$$X_{i,\theta} := \oplus_{s \in \mathfrak{I}_n, l_{\mathfrak{I}}(s)=i} X(s).$$

L'objectif de cette section est de construire pour tout $i \in [1, l_{\mathfrak{I}}(s_{\max})]$ un morphisme,

$$\phi_j : X_{j-1,\theta} \longrightarrow X_{j,\theta}, \tag{27}$$

$$\phi_j = \oplus_{s \in \mathfrak{I}_n,\ l_{\mathfrak{I}}(s)=j-1} \oplus_{s' \in \mathfrak{I}_n,\ l_{\mathfrak{I}}(s)=j} \phi_{s,s'}, \quad \phi^{\theta}_{s,s'} : X(s') \longrightarrow X(s) \tag{28}$$

de manière d'obtenir un complexe différentiel,

$$0 \to \mathbf{Speh}(\delta, n) \to I(\delta, n) \to \cdots \to X_{i-1,\theta} \xrightarrow{\phi_i} X_{i,\theta} \to \cdots \to X_{l_{\mathfrak{I}}(s_{\max}),\theta} \to 0. \tag{29}$$

Pour définir le morphisme $\phi_i,\ i \in [1, l_{\mathfrak{I}}(s_{\max})]$ et ainsi pouvoir construire **(29)** on procède de la manière suivant :

Pour tout $s \in \mathfrak{S}_n$ soit Ω_s la fonctionnelle de Whittaker du module standard $X(s)$. Prennons une paire $s,\ s'$ tel que $l_{\mathfrak{S}}(s') = l_{\mathfrak{S}}(s) - 1$ et $s' <_B s$. D'après le lemme **(6.1)** tout morphisme non nul $\phi \in \mathrm{Hom}(X(s'), X(s))$ est surjective. Par conséquent la composition,

$$\Omega_s \circ \phi,$$

définit une fonctionelle de Whittaker non nulle de $X(s')$ et de l'unicité, multiplication par un scalair près, de la fonctionelle de Whittaker (Voir théorème **(2.2)** de **[Has79]** ou théorème **(1.1)** de **[Sha80]**), il existe une constante $C \in \mathbb{C}^*$ tel que,

$$C \cdot \Omega_s \circ \phi = \Omega_{s'}.$$

Une prèmiere etape en la construction de **(27)** est donnée par la définition suivant.

Definition 6.1. *Soient $s, s' \in \mathfrak{S}_n$ vérifiant $s' \leq_B s$ et $l_{\mathfrak{S}}(s') = l_{\mathfrak{S}}(s) - 1$. Alors on définit,*

$$\phi^{wh}_{s,s'} : X(s') \to X(s), \tag{30}$$

comme l'unique élément de $Hom(X(s'), X(s))$ *tel que,*

$$\Omega_s \circ \phi^{wh}_{s,s'} = \Omega_{s'}. \tag{31}$$

Si au contraire $s' \not\leq_B s$ *on définit* $\phi^{wh}_{s,s'}$ *comme le morphisme nul. On fait noter que d'après le lemme* ***(6.1)*** *pour toute paire* s, s' *avec* $l_{\mathfrak{S}}(s') = l_{\mathfrak{S}}(s) - 1$ *le morphisme* $\phi^{\mathrm{wh}}_{s,s'}$ *est proportionnel au morphisme de Johnson entre* $X(s')$ *et* $X(s)$.

Avec le choix de morphisme donnée par la définition précédent on obtient le résultat suivant.

Lemme 6.2. *Soient* $s, s' \in \mathfrak{S}_N$ *vérifiant* $s \leq_B s'$ *et* $l_{\mathfrak{S}}(s) - l_{\mathfrak{S}}(s') = m$. *Alors pour toute paire de châines saturées,*

$$\begin{aligned} s' &<_B s_1 <_B \cdots <_B s_m < s \\ s' &<_B t_1 <_B \cdots <_B t_m < s, \end{aligned}$$

conduisant de s *à* s' *on a l'égalité,*

$$\phi^{wh}_{s,s_n} \circ \cdots \circ \phi^{wh}_{s_1,s'} = \phi^{wh}_{s,t_n} \circ \cdots \circ \phi^{wh}_{t_1,s'}. \tag{32}$$

Preuve. Ce lemme en une conséquence directe du théorème **(3.2)**. En effet soit $C_{s',s} = \{C_1, \cdots, C_n\}$ l'ensemble de châines saturées de longueur maximale de l'intervalle $[s', s]$. L'intervalle $[s', s]$ etant EL-shellable et donc d'après la proposition **(3.1)** Shellable, l'ensemble $C_{s',s}$ est un ensemble totalement ordononné tel que pour tout châine $C_i \in C_{s',s}$ avec $C_i = s' < s^i_1 < \cdots < s^i_{m-1} < s$ il existe un entier k, $1 \leq k \leq m-1$ tel que,

$$s^i_l = s^{i+1}_l, \text{ si } l \neq k \text{ et } s^i_l \neq s^{i+1}_l, \text{ si } l = k.$$

La paire s^i_k, s^{i+1}_k etant d'après le lemme **(3.2)**, les deux uniques éléments de $\mathfrak{S}_N$ tels que $s^i_{k-1} < s^i_k, s^{i+1}_k < s^i_{k+1}$, on peut d'après la résolution de Johnson écrire,

$$\phi^J_{s^i_{k+1},s^i_k} \circ \phi^J_{s^i_k,s^i_{k-1}} = -\phi^J_{s^i_{k+1},s^{i+1}_k} \circ \phi^J_{s^{i+1}_k,s^i_{k-1}}.$$

Par conséquent,

$$\phi^{wh}_{s^i_{k+1},s^i_k} \circ \phi^{wh}_{s^i_k,s^i_{k-1}} = -\phi^{wh}_{s^i_{k+1},s^{i+1}_k} \circ \phi^{wh}_{s^{i+1}_k,s^i_{k-1}}.$$

D'où on obtient,

$$\phi^{wh}_{s,s^i_{m-1}} \circ \cdots \circ \phi^{wh}_{s^i_1,s'} = \phi^{wh}_{s,s^{i+1}_{m-1}} \circ \cdots \circ \phi^{wh}_{s^{i+1}_1,s'}$$

Pour finir soit C_t la chaîne de $C_{s',s}$ définie par **(32)** et C_u celle définie par **(32)**. Sans perte de généralité on peut supposer $C_t < C_u$. Maintenant qu'on a montré la veracité de l'equation **(32)** pour toute paire de chaînes C_i et C_{i+1} de $C_{s',s}$ avec $t < i < u$ un simple argument de transitivité nous donne l'égalité **(32)** pour les chaînes C_t et C_u.

□

Revenons à présent à l'ensemble des involutions $\mathfrak{I}_n$ et donnons l'annalogue de la définition **(6.1)** pour $\mathfrak{I}_n$.

Definition 6.2. *Soient $s, s' \in \mathfrak{I}_n$ vérifiant $s' <_B s$ et $l_{\mathfrak{I}}(s) - l_{\mathfrak{I}}(s') = 1$. D'après le lemme **(3.1)** on sait que $l_{\mathfrak{S}}(s) - l_{\mathfrak{S}}(s') \leq 3$. Si $l_{\mathfrak{S}}(s) - l_{\mathfrak{S}}(s') > 1$, choisissons une chaîne d'éléments de $\mathfrak{S}_n$ aillent de s' vers s,*

$$s' <_B s_1 <_B s, \text{ si } l_{\mathfrak{S}}(s) - l_{\mathfrak{S}}(s') = 2,$$
$$s' <_B s_1 <_B s_2 < s, \text{ si } l_{\mathfrak{S}}(s) - l_{\mathfrak{S}}(s') = 3.$$

Alors on définit,

$$\phi^{wh}_{s,s'} : X(s') \longrightarrow X(s), \tag{33}$$

comme $\phi^{wh}_{s,s'}$ si $l_{\mathfrak{S}}(s) - l_{\mathfrak{S}}(s') = 1$ ou comme la composition,

$$\phi^{wh}_{s,s'} := \phi^{wh}_{s,s_1} \circ \phi^{wh}_{s_1,s'}, \text{ si } l_{\mathfrak{S}}(s) - l_{\mathfrak{S}}(s') = 2,$$
$$\phi^{wh}_{s,s'} := \phi^{wh}_{s,s_2} \circ \phi^{wh}_{s_2,s_1} \circ \phi^{wh}_{s_1,s'}, \text{ si } l_{\mathfrak{S}}(s) - l_{\mathfrak{S}}(s') = 3.$$

*On fait noter que d'après le lemme **(6.2)** la définition de $\phi^{wh}_{s,s'}$ ne depend pas du chemin choisi. Finalement si $s' \not\leq s$, on définit $\phi^{wh}_{s,s'} : X(s') \longrightarrow X(s)$ comme le morphisme nul.*

Du lemme **(3.2)** pour toute paire $s, s' \in \mathfrak{I}_N$ véerifiant $s' <_B s$ et $l_{\mathfrak{S}}(s) - l_{\mathfrak{S}}(s') = 2$ existent exactement deux éléments s_1, s_2 dans $\mathfrak{I}_N$, tels que $s' <_B s_j <_B s$, $j = 1, 2$, et du lemme **(6.2)** on peut, car tout morphisme $\phi_{l,l'}$, $l, l' \in \mathfrak{I}_n$ est défini comme composition de morphismes associés aux pairs d'éléments de $\mathfrak{S}_n$ avec différence de longueur égale à 1, déduire l'égalité,

$$\phi^{\mathrm{wh}}_{s,s_1} \circ \phi^{\mathrm{wh}}_{s_1,s'} = \phi^{\mathrm{wh}}_{s,s_2} \circ \phi^{\mathrm{wh}}_{s_2,s'}.$$

Par conséquent si pour toute paire $l, l' \in \mathfrak{I}_N$ vérifiant $l' <_B l$ et $l_{\mathfrak{I}}(l) - l_{\mathfrak{I}}(l') = 1$ nous prennons une constante $\lambda_{l,l'} \in \mathbb{C}$ et notons,

$$\phi^{\lambda}_{l,l'} = \lambda_{l,l'} \phi^{\mathrm{wh}}_{l,l'},$$

alors pour tout couple $s, s' \in \mathfrak{I}_N$ avec $s' <_B s$ et $l_{\mathfrak{I}}(s) - l_{\mathfrak{I}}(s') = 2$ on aura,

$$\phi^{\lambda}_{s,s_1} \circ \phi^{\lambda}_{s_1,s'} + \phi^{\lambda}_{s,s_2} \circ \phi^{\lambda}_{s_1,s} = \lambda_{s,s_1} \phi^{\mathrm{wh}}_{s,s_1} \circ \lambda_{s_1,s'} \phi^{\mathrm{wh}}_{s_1,s'} + \lambda_{s,s_2} \phi^{\mathrm{wh}}_{s,s_2} \circ \lambda_{s_2,s'} \phi^{\mathrm{wh}}_{s_1,s'} \tag{34}$$
$$= (\lambda_{s,s_1} \cdot \lambda_{s_1,s'} + \lambda_{s,s_2} \cdot \lambda_{s_2,s'}) \phi^{\mathrm{wh}}_{s,s_1} \circ \phi^{\mathrm{wh}}_{s_1,s'} \tag{35}$$
$$= (\lambda_{s,s_1} \cdot \lambda_{s_1,s'} + \lambda_{s,s_2} \cdot \lambda_{s_2,s'}) \phi^{\mathrm{wh}}_{s,s_2} \circ \phi^{\mathrm{wh}}_{s_2,s'}, \tag{36}$$

avec s_1 et s_2 la paire d'éléments donnée par le lemme **(3.2)**.

La construction du complexe différentiel **(29)** se ramène donc à trouver pour toute paire $l, l' \in \mathfrak{I}_N$ avec $l_{\mathfrak{I}}(s) - l_{\mathfrak{I}}(s') = 1$, des constantes $\lambda_{l,l'} \in \mathbb{C}$, avec $\lambda_{l,l'} \neq 0$ si $l <_B l'$, de manière à ce que dans l'equation **(34)**, la somme $\lambda_{s,s_1} \cdot \lambda_{s_1,s'} + \lambda_{s,s_2} \cdot \lambda_{s_2,s'}$ soit égal à zéro pour toute couple $s, s' \in \mathfrak{I}_N$, $l_{\mathfrak{I}}(s) - l_{\mathfrak{I}}(s') = 2$.

Tout ce qui reste de cette section sera dédié à choisir correctement les constants $\lambda_{l,l'}$.

Associé au module $\mathbf{Speh}(\delta, n)$ on a un paramètre de Arthur,

$$\psi : W_{\mathbb{R}} \times \mathbf{SL}(2, \mathbb{C}) \longrightarrow \mathbf{GL}(2n, \mathbb{C}),$$

de caractère infinitésimal régulier et entier. Le module $\mathbf{Speh}(\delta, n)$ étant θ_N-invariant, il existe un groupe classique $\mathbf{G}$ défini par une des options suivants,

$$\mathbf{G} = \begin{cases} \mathbf{SO}(n+1, n) & \text{si } \frac{p+n-1}{2} \in 2\mathbb{Z}+1, \\ \mathbf{SO}(n, n) & \text{si } n \in 2\mathbb{N} \text{ et } \frac{p+n-1}{2} \in 2\mathbb{Z}, \\ \mathbf{SO}(n+1, n-1) & \text{si } n \in 2\mathbb{N}+1 \text{ et } \frac{p+n-1}{2} \in 2\mathbb{Z}, \end{cases}$$

et un L-paramètre $\varphi_{\mathbf{G}}$ de $\mathbf{G}$ de façon à ce que,

$$\psi : W_{\mathbb{R}} \xrightarrow{\psi_{\mathbf{G}}} {}^L\mathbf{G} \xrightarrow{\iota} \mathbf{GL}(2n, \mathbb{C}),$$

où ι dénote l'inclusion standard.

Le paramètre $\psi_{\mathbf{G}}$ vérifie les deux propriétés suivants,

i. La restriction de $\psi_{\mathbf{G}}$ à $\mathbb{R}_{>0} \hookrightarrow \mathbb{C}^* \hookrightarrow W_{\mathbb{R}}$ est triviale.

ii. L'image d'un élément unipotent régulier de $SL(2, \mathbb{C})$ est un élément unipotent régulier dans le centralisateur $\mathrm{Cent}(\psi_{\mathbf{G}}(\mathbb{C}^*), \widehat{\mathbf{G}})$.

Par conséquent, attaché à $\psi_{\mathbf{G}}$ il existe un paquet de représentations $\Pi^{\mathrm{AJ}}_{\psi_{\mathbf{G}}}$ de $\mathbf{G}(\mathbb{R})$ appellé paquet d'Adams Johnson de $\varphi_{\mathbf{G}}$ (Voir **[AJ87]**). Toute représentation dans $\Pi^{\mathrm{AJ}}_{\psi_{\mathbf{G}}}$ est unitaire et avec de la $(\mathfrak{g}, K)$-cohomologie non nulle. D'après la classification de Vogan-Zuckerman des représentations unitaire irréductibles et avec de la $(\mathfrak{g}, K)$-cohomologie non nulle, pour toute représentation π de $\Pi^{\mathrm{AJ}}_{\psi_G}$ existe un groupe unitaire $\mathbf{L} = \mathbf{U}(p, q),\ p+q = n$, et un caractère λ_π de $\mathbf{L}(\mathbb{R})$ de manière à ce que on puisse écrire,

$$\pi = \mathcal{R}^S_{\mathfrak{q}}(\lambda_\pi),$$

où $\mathcal{R}^i_{\mathfrak{q}}$ est le foncteur d'induction cohomologique de Vogan-Zuckerman, $\mathfrak{q}$ une sous-algèbre parabolique τ-invariante de levi $\mathfrak{l}$, l'algrèbre de lie de $\mathbf{L}$, et $S = (1/2)\dim(\mathfrak{k}/\mathfrak{l} \cap \mathfrak{k})$.

Dans tout ce qui suit, fixons $\pi \in \Pi^{\mathrm{AJ}}_{\psi_{\mathbf{G}}}$ de façon à ce que que le groupe de Levi associé, $\mathbf{L} = \mathbf{U}(p, q)$, soit quasi-deployé.

Rappelons que l'ensemble de représentations irréductible de $\mathbf{L}$ dont le caractère infinitésimal est égal à celle de λ_π est paramètre par l'ensemble $\mathfrak{I}^{p,q,\pm}_n$ défini dans la section **(2.5)**. Dans cette paramètrisation deux paramètres (η, f_η), $(\eta', f_{\eta'}) \in \mathfrak{I}^{p,q,\pm}_n$ correspondent a dés représentations dans le même L-paquet si et seulement si les involutions sous-jacentes η et η' dans $\mathfrak{I}_n$ sont égales. Ceci nous donne une parmétrisation de l'ensemble des L-paramètres de $\mathbf{L}$ par $\mathfrak{I}_n$.

Dans **[Joh84]** J. Johnsons donne pour toute représentations F irréductible et de dimension finie, une résolution par de modules standards. Pour λ_π la résolution de Johnson est paramètre par $\mathfrak{I}^{p,q,\pm}_n$ et s'écrit,

$$0 \to \lambda_\pi \to \cdots \to Y_i \to Y_{i+1} \cdots \to Y_{l_{\mathfrak{J}}(s_{\max})} \to 0. \tag{37}$$

où pour tout $i \in [0, l_{\mathfrak{J}}(s_{\max})]$,

$$Y_i := \oplus_{\eta \in \mathfrak{I}_n, l_{\mathfrak{J}}(\eta)=i} \Theta_\eta$$
$$\Theta_\eta := \oplus_{(\zeta, f_\zeta) \in \mathfrak{I}_n^{p,q,\pm}, \zeta=\eta} X(\overline{\zeta}).$$

Soit $\varphi_{\eta,\mathbf{L}}$ le L-paramètre de $\mathbf{L}$ associé à l'élément $\eta \in \mathfrak{I}_n$, c'est le L-paramètre attaché au pseudo-paquet des représentations intervenant dans la somme, $\Theta_\eta = \oplus_{(\zeta, f_\zeta) \in \mathfrak{I}_n^{p,q,\pm}, \zeta=\eta} X(\overline{\zeta})$. Notons par $\iota_{\mathbf{G},\mathbf{L}}$ l'inclusion ${}^L\mathbf{L} \hookrightarrow {}^L\mathbf{G}$ et considérons le L-paramètre de $\mathbf{GL}(2n)$ donné par la composition,

$$\varphi_\eta : W_{\mathbb{R}} \xrightarrow{\varphi_{\eta,\mathbf{L}}} {}^L\mathbf{L} \xrightarrow{\iota_{\mathbf{G},\mathbf{L}}} {}^L\mathbf{G} \xrightarrow{\iota} \mathbf{GL}(2n, \mathbb{C}).$$

Soit $X(\eta)$ le module standard de $\mathbf{GL}(2n, \mathbb{R})$ attaché à φ_η, alors l'application,

$$\Theta_\eta \mapsto X(\eta),$$

définit une bijection entre l'ensemble des modules standard stables, Θ_η, intervenant dans la résolution de Johnson de λ_π est l'ensemble des modules standard θ_N-invariants de $\mathbf{GL}(2n, \mathbb{R})$ intervenant dans la suite **(29)**.

En conséquence, pour trouver les scalaires nécessaires à la contruction du complexe **(29)** on s'appuie sur la suite **(37)**. Pour toute couple $\overline{\eta},\ \overline{\eta}' \in \mathfrak{I}_n^{p,q,\pm}$ vérifiant $l_{\mathfrak{J}}(\eta') = l_{\mathfrak{J}}(\eta) - 1$ notons par $\varphi^J_{\overline{\eta},\overline{\eta}'} : X(\overline{\eta}') \to X(\overline{\eta})$ le morphisme de Johnson nécessaire à la construction de la résolution de Johnson de λ_π. D'après la proposition **(5.1)** si $\overline{\eta}' <_B \overline{\eta}$, le morphisme $\varphi^J_{\overline{\eta},\overline{\eta}'}$ est non nul.

Les suivants résultats sur le morphisme de Johnson nous indiquerons comme choisir correctement les scalaires $\lambda_{l,l'},\ l, l' \in \mathfrak{I}_n,\ l_{\mathfrak{J}}(l) - l_{\mathfrak{J}}(l') = 1$.

Lemme 6.3. *Soient $\overline{\eta}, \overline{\eta}' \in \mathfrak{I}_n^{p,q,\pm}$ vérifiant $\overline{\eta} \leq_B \overline{\eta}'$ et $l_{\mathfrak{J}}(\eta) - l_{\mathfrak{J}}(\eta') = m$. Alors pour toute paire de chaînes saturées,*

$$\overline{\eta}' <_B \overline{\eta}_1 <_B \cdots <_B \overline{\eta}_{m-1} < \overline{\eta},$$
$$\overline{\eta}' <_B \overline{\zeta}_1 <_B \cdots <_B \overline{\zeta}_{m-1} < \overline{\eta},$$

il existe un entier $C \in \{-1, 1\}$ de façon à ce que,

$$\varphi^J_{\overline{\eta},\overline{\eta}_{m-1}} \circ \cdots \circ \varphi^J_{\overline{\eta}_1,\overline{\eta}'} = C(\varphi^J_{\overline{\eta},\overline{\zeta}_{m-1}} \circ \cdots \circ \varphi_{\overline{\zeta}_1,\overline{\eta}'})^J, \tag{38}$$

Preuve. De la description fait au chapitre **(5)** du diagrammes de Hasse de $\mathfrak{I}_n^{p,q,\pm}$, on déduit que si le couple $\overline{\mu}, \overline{\mu}' \in \mathfrak{I}_n^{p,q,\pm}$ vérifie, $\overline{\mu}' \leq_B \overline{\mu}$ et $l_{\mathfrak{J}}(\mu) - l_{\mathfrak{J}}(\mu') = 1$, alors $\overline{\mu}'$ est l'unique élément d'involution associée μ' tel que $\overline{\mu}' \leq_B \overline{\mu}$. Par conséquent, si $\overline{\eta}' <_B \overline{\eta}_1 <_B \cdots <_B \overline{\eta}_m < \overline{\eta}$ et $\overline{\eta}' <_B \overline{\zeta}_1 <_B \cdots <_B \overline{\zeta}_m < \overline{\eta}$ sont deux chaînes saturées, alors pour tout $i, 1 \leq i \leq m-1$ avec $\overline{\eta}_i \neq \overline{\zeta}_i$ les involutions associées η_i et ζ_i sont différents. Le lemme est donc une conséquence directe du fait que la restriction de l'ordre de Bruhat à l'ensemble des involutions est El-Shellable (théorème **(3.3)**). De plus, l'argument utilisé dans la preuve du lemme **(6.2)** est aussi valable dans le cas présent avec $\mathfrak{I}_N$ au lieu de $\mathfrak{S}_N$, et tel comme pour le lemme **(6.2)** on ramène la preuve au cas de chaînes saturées de longueur 2. L'égalité **(38)** avec $C = -1$ étant evident dans ce cas, d'après le lemme **(3.2)** et le fait que la suite de Johnson est un complexe différentiel, le lemme est prouvé. □

Proposition 6.1. *Soit* $\mathbf{G}$ *un groupe classique quasi-deployé ; linéaire, unitaire orthogonal ou symplectique, et* X *un module standard générique de* $\mathbf{G}(\mathbb{R})$ *de caractère infinitesimal entier et régulier. Alors* X *admet un unique sous-quotient irréductible générique, lequel apparaît avec multiplicité un.*

Preuve. Soit X comme dans l'énoncé. Notons par $d\lambda$ le caractère infinitésimal de X. Il existe un sous-groupe L de $\mathbf{G}(\mathbb{R})$, un groupe de Cartan H de L et un caractère $\delta \in \widehat{H}$ tel que $X = \mathcal{R}_{\mathfrak{q}}^{S}(\mathrm{Ind}_{HN}^{L}(\delta))$. La proposition est une conséquence des deux résultats suivants :

i. Le théorème **(3.6.7)** de **[Sha10]** que dit :

Théorème 6.1. *Soit* $\mathbf{G}$ *un groupe quasi-deployé et* $H = TA$ *un groupe de Cartan de* $\mathbf{G}(\mathbb{R})$. *Supposons* $\delta \otimes \nu \in \widehat{H}$ *tel que la série principale* $Ind_{HN}^{G}(\delta \otimes \nu)$ *de* $\mathbf{G}(\mathbb{R})$ *est générique Alors* $Ind_{HN}^{G}(\delta)$ *admet un unique sous-quotient irréductible générique, lequel apparaît avec multiplicité un. Si en plus* $Re(\nu) \leq 0$, *alors l'unique sous-quotient générique de* $Ind_{HN}^{G}(\delta)$ *est un quotient.*

ii. La restriction du foncteur $\mathcal{R}_{\mathfrak{q}}^{S}$ à l'espace de représentations de longueur fini et de caractère infinitésimal $d\lambda - \rho(\mathfrak{l})$ de $L(\mathbb{R})$ est exact et envoie de représentation irréductibles de $L(\mathbb{R})$ dans de représentations irréductibles de $\mathbf{G}(\mathbb{R})$. De plus $\mathcal{R}_{\mathfrak{q}}^{S}$ préserve la propriété d'être large (c'est-à-dire générique). □

Lemme 6.4. *Soient* $\overline{\eta} = (\eta, f_{\eta}), \overline{\eta}' = (\eta', f_{\eta'}) \in \mathfrak{I}_n^{p,q,\pm}$ *tels que* $\eta' <_B \eta$, $l_{\mathfrak{J}}(\eta') = l_{\mathfrak{J}}(\eta) - 1$ *et tels que les modules standards* $X(\overline{\eta})$ *et* $X(\overline{\eta}')$ *admettent de fonctionnelles de Whittaker non nulles. Alors* $\overline{\eta}' <_B \overline{\eta}$ *et* $Im(\varphi_{\overline{\eta},\overline{\eta}'})$ *possède un quotient générique.*

Preuve. Soit $\overline{\mu} \in \mathfrak{I}_n^{p,q,\pm}$, la correspondance $\mathfrak{I}_n^{p,q,\pm} \to \mathscr{P}_F$ nous permet d'associer à $\overline{\mu}$ un ensemble $\Delta(\overline{\mu})^+$ de racines positives de $\mathfrak{u}(p,q)$. D'après le point **f.** du théorème **(6.2)** de **[Vog78]** (voir aussi la page **587** de **[CS98]**) la représentation $X(\overline{\mu})$ est large (c'est-à-dire génerique) si $\Delta(\overline{\mu})^+$ satisfait les trois conditions suivants,

i. Si $\alpha \in \Delta(\overline{\mu})^+$ est une racine simple non réel, alors $\tau\alpha \notin \delta(\overline{\mu})^+$.

ii. Si $\alpha \in \Delta(\overline{\mu})^+$ est une racine simple réel, alors α ne satisfait pas la condition de parité énoncée dans la définition **(8.3.11)** de **[Vog81]**.

iii. Si $\alpha \in \Delta(\overline{\mu})^+$ est une racine simple imaginaire, alors α n'est pas compacte.

Considérons un couple $\overline{\eta}, \overline{\eta}'$ d'élémets de $\in \mathfrak{I}_n^{p,q,\pm}$ vérifiant $\overline{\eta}' <_B \overline{\eta}$ et $l_{\mathfrak{J}}(\eta') = l_{\mathfrak{J}}(\eta) - 1$. Rappelons que $\overline{\eta}$ est obtenu à partir de $\overline{\eta}'$,

a. soit en remplaçant deux symboles consécutifs de la forme aa, $a \in \mathbb{N}$ par $(+-)$ ou $(-+)$.

b. soit en permutant deux symboles qui ne sont pas tout deux des signes.

c. soit à partir de la condition d'échange. Notons que si $\overline{\eta}$ est obtenu de $\overline{\eta}'$ à partir de cette condition d'échange, alors dans l'écriture symbolique de $\overline{\eta}'$ on trouve une configuration $a+-a$ (ou $a-+a$) qui dans $\overline{\eta}$ est remplacée par une configuration $aabb$.

Il n'est donc pas difficile de voir que si $\Delta(\overline{\eta}')^+$ ne satisfait pas une des trois conditions, i. ii. iii., alors il en est de même pour $\Delta(\overline{\eta})^+$. Mais tout pseudo-paquet de $\mathbf{U}(p,q,\mathbb{R})$

contient un unique module standard générique, par conséquent, si $X(\overline{\eta}')$ admet une fonctionnelle de Whittaker non nulle on peut dire de même de $X(\overline{\eta})$, si $\overline{\eta}$ est obtenu de $\overline{\eta}'$ à partir du point **b.** ou **c.**, et de une de deux possibilités pour $X(\overline{\eta})$, si $\overline{\eta}$ est obtenu de $\overline{\eta}'$ à partir du point **a**. Ce qui montre la première affirmation du lemme.

À présent soit $\overline{\eta}_{\max}$ l'élément de $\mathfrak{I}_n^{p,q,\pm}$ d'involution associée égal à $s_{\max}$ tel que $X(\overline{\eta}_{\max})$ admet une fonctionelle de Whittaker non nulle. Notons aussi par $\overline{\eta}_0$ l'élément de $\mathfrak{I}_n^{p,q,\pm}$ d'écriture symbolique égal à $(1,2,\cdots,n/2,n/2,\cdots,2,1)$ si n est pair et égal à $(1,2,\cdots,(n-1)/2,+,(n-1)/2,\cdots,2,1)$ si n impair. Dans tout ce qui suit, soit $m = l_{\mathfrak{J}}(s_{\max})$. Supposons qu'il existe une chaîne saturée,

$$\overline{\eta}_0 <_B \overline{\eta}_1 <_B \cdots <_B \overline{\eta}_{m-1} <_B \overline{\eta}_{\max}, \tag{39}$$

tel que pour tout $i,\ 0 \leq i \leq m$, $X(\overline{\eta}_i)$ admet une fonctionelle de Whittaker non nulle et tel que $\varphi^J_{\overline{\eta}_{\max},\overline{\eta}_{m-1}} \circ \cdots \circ \varphi^J_{\overline{\eta}_1,\overline{\eta}_0}$ soit différent de zéro.

Soit $\overline{\eta}$ et $\overline{\eta}'$ une paire d'élémets de $\mathfrak{I}_n^{p,q,\pm}$ vérifiant $\overline{\eta}' <_B \overline{\eta}$, $l_{\mathfrak{J}}(\eta') = l_{\mathfrak{J}}(\eta) - 1$ et tels que les modules standards $X(\overline{\eta})$ et $X(\overline{\eta}')$ admettent de fonctionnelles de Whittaker non nulles. Étendons $\overline{\eta}' <_B \overline{\eta}$ en une chaîne saturée,

$$\overline{\eta}_0 <_B \overline{\zeta}_1 <_B \cdots <_B \overline{\eta}_j = \overline{\eta}' <_B \overline{\eta} = \overline{\zeta}_{j+1} \cdots <_B \overline{\eta}_{\max},$$

de $\mathfrak{I}_N^{p,q\pm}$ tel que pour tout $i,\ 0 \leq i \leq m$, $X(\overline{\eta}_i)$ admet une fonctionelle de Whittaker non nulle. D'après le lemme **(6.3)** il existe une entiere $C \in \{-1,1\}$ tel que,

$$\varphi^J_{\overline{\eta}_{\max},\overline{\eta}_{m-1}} \circ \cdots \circ \varphi^J_{\overline{\eta}_1,\overline{\eta}_0} = C(\varphi^J_{\overline{\eta}_{\max},\overline{\zeta}_{m-1}} \circ \cdots \circ \varphi^J_{\overline{\zeta}_1,\overline{\eta}_0}),$$

comme en plus le cotê gauche de l'égalité précédent a été supposé non-nul on peut dire de même du cotê droite. La restriction de $\varphi^J_{\overline{\eta}_{\max},\overline{\zeta}_{m-1}} \circ \cdots \circ \varphi^J_{\overline{\eta}_{j+2},\overline{\eta}}$ à $\mathrm{Im}(\varphi^J_{\overline{\eta},\overline{\eta}'})$ est donc différent de zéro, d'où $\varphi^J_{\overline{\eta}_{\max},\overline{\zeta}_{m-1}} \circ \cdots \circ \varphi^J_{\overline{\eta}_{j+2},\overline{\eta}}$ est une surjection, car $X(\overline{\eta}_{\max})$ est irréductible. Par conséquent $\mathrm{Im}(\varphi^J_{\overline{\eta},\overline{\eta}'})/\ker(\varphi^J_{\overline{\eta}_{\max},\overline{\zeta}_{m-1}} \circ \cdots \circ \varphi^J_{\overline{\eta}_{j+2}\overline{\eta}}) \cong X(\overline{\eta}_{\max})$ et $\mathrm{Im}(\varphi^J_{\overline{\eta},\overline{\eta}'})$ possède un quotient générique.

Le lemme sera donc prouve si on est capable de définir une chaîne saturée de longueur maximale de $\mathfrak{I}_n^{p,q,\pm}$ satisfaisant les mêmes propriétés que **(39)**.

Supposons d'abord que n est pair. Alors comme chaîne saturée on prend celle définie par,

$$\overline{\eta}_0 <_B \overline{\eta}_1 <_B \cdots <_B \overline{\eta}_{\max} \tag{40}$$

où $\overline{\eta}_i$ est, pour tout $i,\ 1 \leq i \leq m - n/2$, l'involution signé sans points fixes définie (si on utilise la notation symbolique pour décrire les éléments de $\mathfrak{I}_n^{p,q,\pm}$) en permutant dans $\overline{\eta}_{i-1}$ le couple $(\overline{m(i)}, m(i))$ avec $\overline{m(i)}$ l'entier inmediatement à gauche de $m(i)$ dans $\overline{\eta}_{i-1}$ et $m(i)$ défini recursivement comme suit : $m(0) = 0$, $m(1)$ la première copie de 1 qui apparaît dans $\overline{\eta}_0$ en le lissant de droite à gauche. Et pour $i \geq 1$, si $m(i-1) \neq m(k)$ pour tout $k < i-1$ ou si à droite de $m(i-1)$ dans $\overline{\eta}_{i-1}$ il y a un entier suivi du même

entier alors $m(i)$ est défini comme la première copie, en lissant $\overline{\eta}_{i-1}$ de droite à gauche, du plus petit entier l dans $\overline{\eta}_{i-1}$ avec à gauche un entier différent de l, si au contraire, $m(i) = m(k)$, pour un entier $k < i-1$, alors $m(i)$ est la première copie de $m(i-1)+1$ qui apparaît dans $\overline{\eta}_{i-1}$ en le lissant de droite à gauche. Par exemple pour $p = 3$, $q = 3$, la chaîne des éléments de $\mathfrak{I}_6^{3,3,\pm}$ ainsi définie est donnée par, $(123321) <_B (123312) <_B (123132) <_B (123123) <_B (121323) <_B (121233) <_B (112233)$.

Si maintenant nous considérons $j = m - n/2 + i,\ 1 \leq i \leq n/2$, alors $\overline{\eta}_j$ est donné par l'unique élément dans $\mathfrak{I}_n^{p,q,\pm}$, d'involution associée η_j définie par,

$$\eta_j(k) = k, \text{ si } 1 \leq k \leq 2j \ \text{ et } \ \eta_j(2j+2k+1) = 2j+2k+2 \text{ si } 0 \leq k \leq (n-2j)/2,$$

tel que $X(\overline{\eta}_j)$ admet une fonctionelle de Whittaker non nulle.

Supposons à présent que est n est impaire. Alors comme chaîne saturée on prend celle définie par,

$$\overline{\eta}_0 <_B \overline{\eta}_1 <_B \cdots <_B \overline{\eta}_{\max} \tag{41}$$

où $\overline{\eta}_i$ est pour tout $i,\ 1 \leq i \leq m-(n-1)/2$, donné par l'unique élément dans $\mathfrak{I}_n \hat{}\, p, q, \pm$, d'involution associée η_j définie par,

$$\eta_j(k) = \begin{cases} n+1-k & \text{si } k \geq j+2, \\ n+1-i-1 & \text{si } k \leq j, \\ n & \text{si } k = j+2, \end{cases}$$

$$\overline{\eta}_{m-(n-1)/2+1} = (1, 2, 3, \cdots, 3, 2, 1, +).$$

Finalement si $j = m-(n-1)/2+1+i,\ 1 \leq i \leq (n-1)/2+1$, alors $\overline{\eta}_j$ est défini par, $\overline{\eta}_j = (\overline{\eta}_i^{p-1,q}, +)$ avec $\overline{\eta}_i^{p-1,q}$ le $i-$eme élément de la chaîne saturée définie précédement pour $\mathfrak{I}_{n-1}^{p-1,q,\pm}$.

Maintenant que la chaîne saturée **(39)** a été definie il ne nous reste que à montrer que la composition, $\varphi^J_{\overline{\eta}_{\max},\overline{\eta}_{m-1}} \circ \cdots \circ \varphi^J_{\overline{\eta}_1,\overline{\eta}_0}$, est différent de zéro.

Il suffit pour cela de montrer pour tout $i,\ 1 \leq i \leq m$, l'affirmation suivant :

L'image de $\phi^J_{\overline{\eta}_i,\overline{\eta}_{i-1}}$ contient un sous-quotient générique.

Comme le foncteur d'induction parabolique est exacte et que pour tout i, l'élément $\overline{\eta}_i$ s'obtient à partir de $\overline{\eta}_{i-1}$ en permutant deux symboles qui ne sont pas tout deux des signes, la fonction de Johnson entre $X(\overline{\eta}_{i-1})$ et $X(\overline{\eta}_i)$ s'obtient après induction d'un morphisme ϕ, donné par une des trois posibilités suivants,

i.) $X(\{abba\}) \xrightarrow{\phi} X(\{abab\})$,

ii.) $X(\{abab\}) \xrightarrow{\phi} X(\{aabb\})$,

iii.) $X(\{a+a\}) \xrightarrow{\phi} X(\{aa+\})$.

La preuve de l'affirmation précédent se ramène en conséquence à montrer que l'image du morphisme ϕ contient un sous-quotient générique.

Notons que dans le deux premiers cas le morphisme ϕ est en fait surjetif ce qui montre l'affirmation.

Pour le point trois, rappelons que le diagramme de Hasse pour $\mathfrak{I}_3^{2,1,\pm}$ est donné dans le diagramme **(24)**.

De plus, du corollaire **(7.2)** de **[Vog83]** et les formule de récurrences enoncées dans la proposition **(6.14)** du même article, pour $\overline{X(\{a+a\})}$, on obtient,

$$\overline{X(\{a+a\})} = X(\{a+a\}) - X(\{aa+\}) - X(\{+aa\}) + X(\{-++\}) + X(\{+-+\}) + X(\{++-\}),$$

comme aussi,

$$\begin{aligned} X(\{aa+\}) &= \overline{X(\{aa+\})} - X(\{+-+\}) - X(\{-++\}), \\ X(\{+aa\}) &= \overline{X(\{+aa\})} - X(\{+-+\}) - X(\{++-\}), \end{aligned}$$

on conclut,

$$X(\{a+a\}) = \overline{X(\{a+a\})} + \overline{X(\{+aa\})} + \overline{X(\{aa+\})} + X(\{+-+\}).$$

Par conséquent $X(\{+-+\})$ est l'unique quotient irréductible de $X(\{a+a\})$, ce qui fait de $X(\{+-+\})$ un quotient de $\mathrm{im}(\phi) \cong X(\{a+a\})/\ker(\phi)$, montrant ainsi l'affirmation, car $X(\{+-+\})$ est générique. □

Corollaire 6.1. *Pour toute paire $l, l' \in \mathfrak{I}_n$ avec $l' <_B l$ et $l_{\mathfrak{J}}(l') = l_{\mathfrak{J}}(l) - 1$ il existe une constante $\lambda_{l,l'} \in \mathbb{C}^*$, de façon à ce que pour tout quadruple, $\{\overline{\eta}, \overline{\eta}', \overline{\eta}_1, \overline{\eta}_2\}$, vérifiant $\eta' < \eta_i < \eta$, $l_{\mathfrak{J}}(\eta') = l_{\mathfrak{J}}(\eta_i) - 1 = l_{\mathfrak{J}}(\eta) - 2$, $i = 1, 2$ et tel que pour tout $\overline{\mu}$ dans le quadruple $X(\overline{\mu})$ admet une fonctionelle de Whittaker non nulle, on ait,*

$$\beta_{\eta,\eta_1}\varphi^J_{\overline{\eta},\overline{\eta}_1} \circ \beta_{\eta_1,\eta}\varphi^J_{\overline{\eta}_1,\overline{\eta}'} = \beta_{\eta,\eta_2}\varphi^J_{\overline{\eta},\overline{\eta}_2} \circ \beta_{\eta_2,\eta}\varphi^J_{\overline{\eta}_2,\overline{\eta}'}.$$

Preuve. Soient $\overline{\eta}$, $\overline{\eta}'$ et $\overline{\eta}_1$, $\overline{\eta}_2$ comme dans l'énoncé du lemme. Notons par $\Omega_{\overline{\eta}}, \Omega_{\overline{\eta}'}, \Omega_{\overline{\eta_1}}$ et $\Omega_{\overline{\eta}_2}$ les fonctionnelles de Whittaker respectifs.

D'après le lemme **(6.4)**, pour toute paire $\zeta, \zeta' \in \mathfrak{I}_N$ vérifiant $\zeta' <_B \zeta$ et $l_{\mathfrak{J}}(\zeta') = l_{\mathfrak{J}}(\zeta) - 1$, l'image $\mathrm{Im}(\varphi^J_{\overline{\zeta},\overline{\zeta}'})$ contient un sous-quotient générique si on peut dire de même de $X(\overline{\zeta})$ et $X(\overline{\zeta}')$. En conséquence, de la proposition **(6.1)**,

$$\Omega(\overline{\eta}_i) \circ \varphi^J_{\overline{\eta}_i,\overline{\eta}'} \quad \text{et} \quad \Omega(\overline{\eta}) \circ \varphi^J_{\overline{\eta},\overline{\eta}_i},$$

définisent des fonctionelles de Whittaker non nulles pour $X(\overline{\eta}_i)$ $i = 1, 2$, et $X(\overline{\eta})$, respectivement. Par l'unicité de la fonctionelle de Whittaker il existent de constants $\beta_{\eta_i,\eta'}$ et β_{η,η_i}, $i = 1, 2$, de manière à ce que,

$$\Omega(\overline{\eta}') = \Omega(\overline{\eta}_i) \circ \beta_{\eta_i,\eta'}\varphi^J_{\overline{\eta}_i,\overline{\eta}'} \quad \text{et} \quad \Omega(\overline{\eta}_i) = \Omega(\overline{\eta}) \circ \beta_{\eta,\eta_i}\varphi^J_{\overline{\eta},\overline{\eta}_i}.$$

Notons,

$$\varphi^{wh}_{\overline{\eta}_i,\overline{\eta}'} = \beta_{\eta_i,\eta'}\varphi^{J}_{\overline{\eta}_i,\overline{\eta}'} \quad \text{et} \quad \varphi^{wh}_{\overline{\eta},\overline{\eta}_i} = \beta_{\eta,\eta_i}\varphi^{J}_{\overline{\eta},\overline{\eta}_i}.$$

Comme,

$$\varphi^{J}_{\overline{\eta},\overline{\eta}_1} \circ \varphi^{J}_{\overline{\eta}_1,\overline{\eta}'} + \varphi^{J}_{\overline{\eta},\overline{\eta}_2} \circ \varphi^{J}_{\overline{\eta}_2,\overline{\eta}'} = 0,$$

on obtient,

$$\varphi^{wh}_{\overline{\eta},\overline{\eta}_1} \circ \varphi^{wh}_{\overline{\eta}_1,\overline{\eta}'} = -\frac{\beta_{\eta,\eta_2}\cdot\beta_{\eta_2,\eta'}}{\beta_{\eta,\eta_1}\cdot\beta_{\eta_1,\eta'}} \cdot \left(\varphi^{wh}_{\overline{\eta},\overline{\eta}_2} \circ \varphi^{wh}_{\overline{\eta}_2,\overline{\eta}'}\right)$$

mais,

$$\begin{aligned}
\Omega_{\overline{\eta}'} &= \Omega_{\overline{\eta}} \circ \varphi^{wh}_{\overline{\eta},\overline{\eta}_1} \circ \varphi^{wh}_{\overline{\eta}_1,\overline{\eta}'} \\
&= -\frac{\lambda_{\eta,\eta_2}\cdot\lambda_{\eta_2,\eta'}}{\beta_{\eta,\eta_1}\cdot\beta_{\eta_1,\eta'}} \cdot \left(\Omega_{\overline{\eta}'} \circ \varphi^{wh}_{\overline{\eta},\overline{\eta}_2} \circ \varphi^{wh}_{\overline{\eta}_2,\overline{\eta}'}\right) \\
&= -\frac{\beta_{\eta,\eta_2}\cdot\beta_{\eta_2,\eta'}}{\beta_{\eta,\eta_1}\cdot\beta_{\eta_1,\eta'}} \cdot \Omega_{\overline{\eta}'},
\end{aligned}$$

d'où $-\beta_{\eta,\eta_2}\cdot\beta_{\eta_2,\eta'}\cdot\beta^{-1}_{\eta,\eta_1}\cdot\beta^{-1}_{\eta_1,\eta'} = 1$ et,

$$\varphi^{wh}_{\overline{\eta},\overline{\eta}_1} \circ \varphi^{wh}_{\overline{\eta}_1,\overline{\eta}'} = \varphi^{wh}_{\overline{\eta},\overline{\eta}_2} \circ \varphi^{wh}_{\overline{\eta}_2,\overline{\eta}'}.$$

Par conséquent,

$$\begin{aligned}
0 &= \varphi^{J}_{\overline{\eta},\overline{\eta}_1} \circ \varphi^{J}_{\overline{\eta}_1,\overline{\eta}'} + \varphi^{J}_{\overline{\eta},\overline{\eta}_2} \circ \varphi^{J}_{\overline{\eta}_2,\overline{\eta}'} \\
&= \beta^{-1}_{\eta,\eta_1}\varphi^{wh}_{\overline{\eta},\overline{\eta}_1} \circ \beta^{-1}_{\eta_1,\eta'}\varphi^{wh}_{\overline{\eta}_1,\overline{\eta}'} + \beta^{-1}_{\eta,\eta_2}\varphi^{wh}_{\overline{\eta},\overline{\eta}_2} \circ \beta^{-1}_{\eta_2,\eta'}\varphi^{wh}_{\overline{\eta}_2,\overline{\eta}'} \\
&= (\beta^{-1}_{\eta,\eta_1}\cdot\beta^{-1}_{\eta_1,\eta'} + \beta^{-1}_{\eta,\eta_2}\cdot\beta^{-1}_{\eta_2,\eta'})(\varphi^{wh}_{\overline{\eta},\overline{\eta}_1} \circ \varphi^{wh}_{\overline{\eta}_1,\overline{\eta}'} + \varphi^{wh}_{\overline{\eta},\overline{\eta}_2} \circ \varphi^{wh}_{\overline{\eta}_2,\overline{\eta}'})
\end{aligned}$$

ce qui nous permet de conclure l'égalité,

$$\beta^{-1}_{\eta,\eta_1}\cdot\beta^{-1}_{\eta_1,\eta'} + \beta^{-1}_{\eta,\eta_2}\cdot\beta^{-1}_{\eta_2,\eta'} = 0. \tag{42}$$

□

Revenons à la suite **(29)**. Pour finir avec la construction de celle ci, donnons la définition suivant.

Definition 6.3. *Soient $s, s' \in \mathfrak{I}_n$ vérifiant $s' <_B s$ et $l_{\mathfrak{I}}(s') = l_{\mathfrak{I}}(s) - 1$. Soit $\lambda_{s,s'} = \beta^{-1}_{s,s'}$ la constante associée au pair s, s' par le corollaire **(6.1)**, alors on définit $\phi_{s,s'} : X(s') \longrightarrow X(s)$ par,*

$$\phi_{s,s'} = \lambda_{s,s'}\phi^{wh}_{s,s'} \tag{43}$$

et,

$$\begin{aligned}
&\phi_j : X_{i-1,\theta} \longrightarrow X_{i,\theta} \\
&\phi_j = \oplus_{s\in\mathfrak{I}_N, l_{\mathfrak{I}}(s)=i} \oplus_{s'\in\mathfrak{I}_N, l_{\mathfrak{I}}(s')=i-1} \phi_{s,s'}
\end{aligned} \tag{44}$$

Avec les flèches de **(29)** définies par **(44)** on obtient d'après la remarque que suit à la définition **(6.2)** et le corollaire **(6.1)** le théorème suivant.

Théorème 6.2. *La suite,*

$$0 \to \mathbf{Speh}(\delta, n) \to I(\delta, n) \to \cdots \to X_{i-1,\theta} \to X_{i,\theta} \to \cdots \to X_{l_{\jmath}(s_{max}),\theta} \to 0, \qquad (45)$$

définie à partir des morphismes,

$$\phi_i : X_{i+1,\theta} \to X_{i,\theta}$$

où,

$$\phi_i := \oplus_{\gamma \in \Gamma_i} \oplus_{\gamma' \in \Gamma_{i+1}} \phi_{\gamma,\gamma'}$$

est un complexe différentiel.

6.2 θ-exactitude

Prenons, une nouvelle fois, $p, n \in \mathbb{N}^{\times}$ avec $p > n-1$ et considérons $\mathbf{Speh}(\delta, n)$, où $\delta := \delta(p/2, -p/2)$. Dans la section précédent on a montré que la suite,

$$0 \to \mathbf{Speh}(\delta, n) \to I(\delta, n) \to \cdots \to X_{i-1,\theta} \xrightarrow{\phi_i} X_{i,\theta} \to \cdots \to X_{l_{\jmath}(s_{\max}),\theta} \to 0, \qquad (46)$$

avec les fleches, ϕ_i, définies par **(44)** est un complexe différentiel. Cette suite est certainement non exacte, mais on aimerait bien pouvoir montrer qu'elle est θ-exacte, c'est-à-dire tel que pour tout $i \in [1, l_{\jmath}(s_{\max})]$ on a l'égalité,

$$\mathrm{Tr}_{\theta}(\ker(\phi_i)/\mathrm{im}(\phi_{i-1})) = 0,$$

où la trace tordue est prise par rapport à l'action de θ_N normalisée à l'Arthur, comme expliqué dans **[Art13]** section **(2.2)**. La θ-exactitude de **(46)** a comme conséquence l'égalité,

$$\mathrm{Tr}_{\theta}(\mathbf{Speh}(\delta, n)) = \sum_{i=0}^{l_{\jmath}(s_{\max})} (-1)^i \mathrm{Tr}_{\theta}(X_i).$$

Cette égalité est obtenue différemment dans **[AMR]**, voir théorèmes **(9.5)** et **(9.7)** pour une preuve. La méthode utilisée dans **[AMR]** se base sur le calcul de l'action de l'automorphisme exterieur θ_N de $\mathbf{GL}(N)$ sur le complexe de Johnson qui résout $\mathbf{Speh}(\delta, n)$.

Dans cet article nous présentons la preuve de la θ-exactitude de **(46)** pour $\mathbf{Speh}(\delta, n)$ avec n plus petit ou égal à 4.

Par example si $n = 2$, alors $\mathbf{Speh}(\delta, 2) = \delta(p/2, -p/2)$ et il n'y a rien à prouver, car $\delta(p/2, -p/2)$ est irréductible et θ_4-invariante.

Si maintenant nous nous situons dans $GL(4, \mathbb{R})$. Comme $X(s_{\max})$ est l'unique sous-quotient de $X(s_0)$ la suite **(46)** pour $\mathbf{Speh}(\delta, 2)$ devient,

$$0 \to \mathbf{Speh}(\delta, 2) \to X(s_0) \to X(s_{\max}) \to 0. \qquad (47)$$

Or, **(47)** est aussi la resolution de Johnson pour $\mathbf{Speh}(\delta, 2)$. Par conséquent **(47)** est exacte et donc θ-exacte.

Les deux dernières sections seront consacrées à montrer la θ-exactitude de **(46)** pour $\mathbf{Speh}(\delta, n)$ avec $n = 3$ et $n = 4$.

Pour simplifier un peut tout ce qui suit nous allons adopter la notation suivant. Pour tout $i \in [1, l_{\mathfrak{J}}(s_{\mathfrak{J}})]$ soit,

$$m_i := \frac{p+n-1}{2} - i.$$

Alors pour tout $s \in \mathfrak{S}_N$ nous allons noter,

$$X(s) = \{(m_1, -m_{s_1}), \cdots, (m_n, -m_{s_n})\},$$

au lieu de,

$$X(s) = \delta(m_1, -m_{s_1}) \times \cdots \times \delta(m_n, -m_{s_n}).$$

De plus, à chaque fois que le contexte le permette, on ne fera pas de différence entre l'élément s de $\mathfrak{S}_N$ et le module standard $X(s)$ de $\mathbf{GL}(2n, \mathbb{R})$ associé.

Finalement pour tout $s \in \mathfrak{S}_N$ définissons,

$$K_s := \bigcap_{s <_B s',\ l_{\mathfrak{S}}(s) = l_{\mathfrak{J}}(s) - 1} \ker(\phi^J_{s',s}). \tag{48}$$

6.3 θ-exactitude dans $\mathbf{GL}(6, \mathbb{R})$

Pour $\mathbf{Speh}(\delta, 3)$ le complexe différentiel **(46)** est donné par le diagramme ci-dessous. Dans celui-ci on a abusivement noté une flèche pleine au lieu du morphisme défini par

l'equation **(33)** alors qu'une flèche pointilléé est l'opposée du morphisme précédent.

$$
\begin{array}{ccccc}
 & & 0 & & \\
 & & \downarrow & & \\
 & & \overline{X(s^2)} & & \\
 & & \downarrow & & \\
 & & X(s^2) := \begin{bmatrix} (m_1-m_3) \\ (m_2-m_2) \\ (m_3-m_1) \end{bmatrix} & & \\
 & \swarrow & & \searrow & \\
X(s_1^1) := \begin{bmatrix} (m_1-m_1) \\ (m_2-m_3) \\ (m_3-m_2) \end{bmatrix} & & & & X(s_2^1) := \begin{bmatrix} (m_1-m_2) \\ (m_2-m_1) \\ (m_3-m_3) \end{bmatrix} \\
 & \searrow & & \swarrow & \\
 & & X(s_{\max}) := \begin{bmatrix} (m_1-m_1) \\ (m_2-m_2) \\ (m_3-m_3) \end{bmatrix} & & \\
 & & \downarrow & & \\
 & & 0 & &
\end{array}
\tag{49}
$$

Passons maintenant à la preuve de la θ-exactitude de **(49)**. Situons nous dans le cran $(\mathbf{2} \to \mathbf{1})$,

$$X(s^2) \to \oplus_{i=1}^{2} X(s_i^1),$$

Notons,

$$\begin{aligned} X(\mu) &:= \{(m_1, -m_2), (m_2, -m_3), (m_3, -m_1)\}, \\ X(\theta\mu) &:= \{(m_1, -m_3), (m_2, -m_1), (m_3, -m_2)\}. \end{aligned}$$

Soit $w \in \ker(\phi_{s_1^1, s^2}) \cap \ker(\phi_{s_2^1, s^2})$. On a respectivement, $\phi^J_{\mu,s^2}(w) \in K_\mu$ et $\phi^J_{\theta\mu,s^2}(w) \in K_{\theta\mu}$. L'exactitude de la suite Johnson nous permet de choisir $w_1 \in \ker(\phi^J_{\theta\mu,s^2})$, respectivement $w_2 \in \ker(\phi^J_{\mu,s^2})$ tel que,

$$\phi^J_{\mu,s^2}(w_1) = \phi^J_{\mu,s^2}(w) \text{ et } \phi^J_{\theta\mu,s^2}(w_2) = \phi^J_{\theta\mu,s^2}(w).$$

Soit $y = w - (w_1 + w_2)$ alors $y \in \ker(\phi^J_{\mu,s^2}) \cap \ker(\phi^J_{\theta\mu,s^2})$ et on peut écrire,

$$w = (w_1 + y) + w_2.$$

Ce qui démontre le résultat suivant ;

Lemme 6.5.

$$\ker(\phi_1) = \ker(\phi^J_{\mu,s^2}) + \ker(\phi^J_{\theta\mu,s^2})$$

Du lemme **(6.5)** ils nous est donc possible conclure,

$$\begin{aligned}\mathrm{Tr}_\theta(\ker(\phi_1)) &= \mathrm{Tr}_\theta(\ker(\phi^J_{\mu,s^2}) + \ker(\phi^J_{\theta\mu,s^2})) \\ &= \mathrm{Tr}_\theta(\ker(\phi^J_{\mu,s^2}) \cap \ker(\phi^J_{\theta\mu,s^2})) \\ &= \mathrm{Tr}_\theta(\overline{X(s^2)}).\end{aligned}$$

et clairement,

$$\mathrm{Tr}_\theta(\ker(\phi_1)/\overline{X(s^2)}) = 0.$$

Cran $\mathbf{1} \to \mathbf{0}$,

$$\oplus_{j=1}^2 X(s^1_j) \to X(s_{\max}),$$

où on rappelle que,

$$X(s_{\max}) := \{(m_1, -m_1), (m_2, -m_2), (m_3, -m_3)\}.$$

Pour chaque $1 \leq j \leq 2$ on a, car la multiplicité de $X(s_{\max})$ en tant que sous-quotient de $X(s^1_j)$ est égal à 1, l'égalité,

$$\ker(\phi_{s_{\max}, s^1_j}) = \overline{X(s^1_j)}.$$

Comme en plus chaque $\overline{X(s^1_j)},\ 1 \leq j \leq 2$, est contenu dans, $\mathrm{im}(\phi_1)$, on conclut,

$$\ker(\phi_0)/\mathrm{im}(\phi_1) = 0.$$

6.4 θ-Resolution dans $\mathbf{GL}(8, \mathbb{R})$

Situons nous à présent dans $\mathbf{GL}(8, \mathbb{R})$ et considérons $\mathbf{Speh}(\delta, 4)$. Pour $\mathbf{Speh}(\delta, 4)$ la suite **(46)** est donnée par le diagramme ci-dessous. Dans celui-ci on a, comme pour $\mathbf{GL}(6, \mathbb{R})$, abusivement noté une flèche pleine au lieu du morphisme défini par l'equation

(43), alors qu'une flèche pointillée est l'opposée du morphisme précédent.

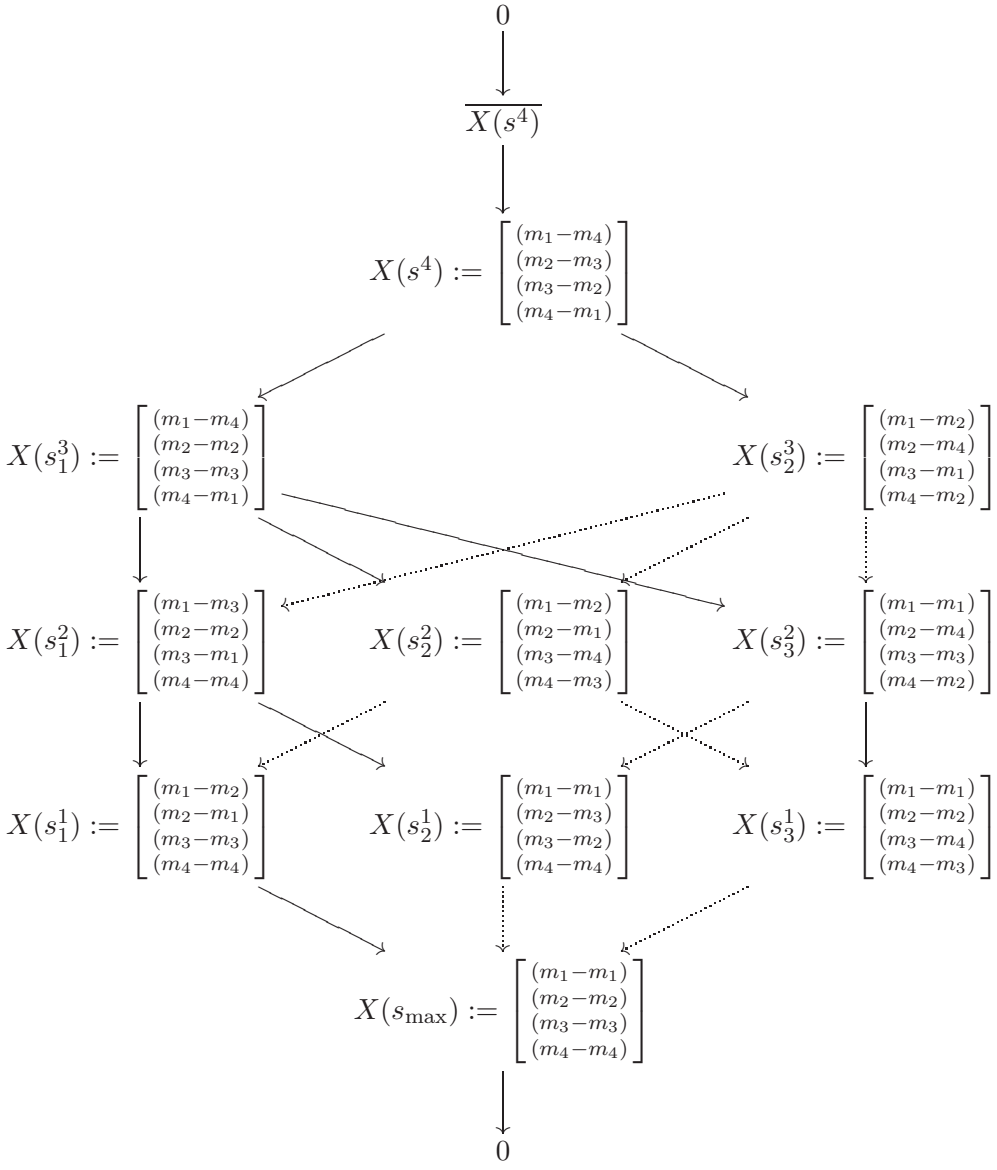

. (50)

Il nous faut à présent démontrer que la suite **(50)** est θ-exacte.

Situons nous dans le cran $(\mathbf{4} \to \mathbf{3})$,

$$X(s^4) \to \oplus_{i=1}^{2} X(s_i^3).$$

Notons,

$$X(\mu) := \{(m_1, -m_3), (m_2, -m_4), (m_3, -m_2), (m_4, -m_1)\},$$
$$X(\theta\mu) := \{(m_1, -m_4), (m_2, -m_3), (m_3, -m_1), (m_4, -m_2)\}.$$

On aura besoin du résultat suivant ;

Lemme 6.6.

$$\ker(\phi_3) = (\ker(\phi^J_{\mu,s^4}) \cap \ker(\phi_{s^3_1,s^4})) + (\ker(\phi^J_{\theta\mu,s^4}) \cap \ker(\phi_{s^3_1,s^4}))$$

Preuve. Soit $w \in \ker(\phi_{s^3_1,s^4}) \cap \ker(\phi_{s^3_2,s^4})$. Comme la suite de Johnson définit un complexe différentiel, $\phi^J_{\mu,s^4}(w) \in K_\mu$ (Voir equation **(48)** pour la définition de K_μ) et $\phi^J_{\theta\mu,s^4}(w) \in K_{\theta\mu}$. L'exactitude de la suite de Johnson nous permet de choisir $w_1 \in \ker(\phi^J_{\theta\mu,s^4}) \cap \ker(\phi_{s^3_1,s^4})$, respectivement $w_2 \in \ker(\phi^J_{\mu,s^3}) \cap \ker(\phi_{s^3_1,s^3})$ tel que,

$$\phi^J_{\mu,s^4}(w_1) = \phi^J_{\mu,s^4}(w) \text{ et } \phi^J_{\theta\mu,s^4}(w_2) = \phi^J_{\theta\mu,s^4}(w).$$

Soit $y = w - (w_1 + w_2)$ alors $y \in \ker(\phi^J_{\mu,s^4}) \cap \ker(\phi^J_{\theta\mu,s^4}) \cap \ker(\phi_{s^3_1,s^4})$ et on peut écrire,

$$w = (w_1 + y) + w_2.$$

Ce qui nous donne l'inclusion, $\ker(\phi_3) \subset (\ker(\phi^J_{\mu,s^4}) \cap \ker(\phi_{s^3_1,s^4})) + (\ker(\phi^J_{\theta\mu,s^4}) \cap \ker(\phi_{s^3_1,s^4}))$. L'inclusion opposé est evident du fait que la suite de Johnson est un complexe différentiel. □

Du lemme **(6.6)** ils nous est donc possible conclure,

$$\begin{aligned}
\mathrm{Tr}_\theta(\ker(\phi_{3,4})) &= \mathrm{Tr}_\theta(\ker(\phi^J_{\mu,s^4}) \cap \ker(\phi_{s^3_1,s^4}) + (\ker(\phi^J_{\theta\mu,s^4}) \cap \ker(\phi_{s^3_1,s^4})) \\
&= \mathrm{Tr}_\theta(\ker(\phi^J_{\mu,s^4}) \cap \ker(\phi^J_{\theta\mu,s^4}) \cap \ker(\phi_{s^3_1,s^4})) \\
&= \mathrm{Tr}_\theta(\overline{X(s^4)}).
\end{aligned}$$

et clairement,

$$\mathrm{Tr}_\theta(\ker(\phi_{3,4})/\mathrm{im}(\phi_4)) = \mathrm{Tr}_\theta(\ker(\phi_{3,4})/\overline{X(s^4)}) = 0.$$

Cran $\mathbf{3} \to \mathbf{2}$,

$$\oplus^2_{k=1} X(s^3_k) \to \oplus^3_{j=1} X(s^2_j),$$

où on rappelle que,

$$\begin{aligned}
X(s^2_1) &= \{(m_1, -m_3), (m_2, -m_2), (m_3, -m_1), (m_4, -m_4)\}, \\
X(s^2_2) &= \{(m_1, -m_2), (m_2, -m_1), (m_3, -m_4), (m_4, -m_3)\}, \\
X(s^2_3) &= \{(m_1, -m_1), (m_2, -m_4), (m_3, -m_3), (m_4, -m_2)\}.
\end{aligned}$$

Le fait que tout élément de $X(s^3_1)$ soit possible d'être écrit comme la somme d'un élément dans $\mathrm{im}(\phi_3)$ plus un élément dans $X(s^3_2)$ nous permet de ramèner le problème de l'étude de $\ker(\phi_2)/\mathrm{im}(\phi_3)$ à l'étude du space $\ker(\phi_2) \cap X(s^3_2)/\mathrm{im}(\phi_3) \cap X(s^3_2)$. Notons,

$$\begin{aligned}
X(\nu) &:= \{(m_1, -m_2), (m_2, -m_4), (m_3, -m_1), (m_4, -m_3)\}, \\
X(\theta\nu) &:= \{(m_1, -m_3), (m_2, -m_1), (m_3, -m_4), (m_4, -m_2)\}.
\end{aligned}$$

Comme pour le cran précédent on démontre,

Lemme 6.7.

$$\ker(\phi_2) \cap X(s_2^3) = (\ker(\phi^J_{\nu,s_2^3}) \cap \ker(\phi_{s_1^2,s_2^3}) \cap \ker(\phi_{s_3^2,s_2^3})) \\ + (\ker(\phi^J_{\theta\nu,s_2^3}) \cap \ker(\phi_{s_1^2,s_2^3}) \cap \ker(\phi_{s_3^2,s_2^3})).$$

Preuve. Comme,

$$\ker(\phi_{s_2^2,s_2^3}) = \ker(\phi^J_{\nu,s_2^3}) + \ker(\phi^J_{\theta\nu,s_2^3}) \\ + (\phi^J_{\nu,s_2^3})^{-1}(\ker(\phi_{s_2^2,\nu}) \setminus \{0\}) \cap (\phi^J_{\theta\nu,s_2^3})^{-1}(\ker(\phi^J_{s_2^2,\theta\nu}) \setminus \{0\}),$$

on en déduit que,

$$\ker(\phi_2) \cap X(s_2^3) = \ker(\phi_{s_1^2,s_2^3}) \cap \ker(\phi_{s_3^2,s_2^3}) \cap [\ker(\phi^J_{\nu,s_2^3}) + \ker(\phi^J_{\theta\nu,s_2^3}) \\ + (\phi^J_{\nu,s_2^3})^{-1}(\ker(\phi_{s_2^2,\nu}) \setminus \{0\}) \cap (\phi^J_{\theta\nu,s_2^3})^{-1}(\ker(\phi^J_{s_2^2,\theta\nu}) \setminus \{0\})].$$

Choisissons $x \in (\phi^J_{\nu,s_2^3})^{-1}(\ker(\phi^J_{s_2^2,\nu}) \setminus \{0\}) \cap (\phi^J_{\theta\nu,s_2^3})^{-1}(\ker(\phi^J_{s_2^2,\theta\nu}) \setminus \{0\})$, $y \in \ker(\phi^J_{\nu,s_2^3})$ et $z \in \ker(\phi^J_{\theta\nu,s_2^3})$, tels que $x+y+z \in \ker(\phi_{s_1^2,s_2^3}) \cap \ker(\phi_{s_3^2,s_2^3})$. Soit $\eta \in \mathfrak{S}_4$ tel que $\nu >_B \eta$, $l_{\mathfrak{S}}(\eta) = l_{\mathfrak{S}}(\nu) - 1$ et $\eta \neq s_2^2$. Notons aussi par η' l'unique élémént de $\mathfrak{S}_4$ différent de ν tel que $s_2^3 >_B \eta' >_B \eta$, alors $\eta' = s_1^2$ ou $\eta' = s_3^2$. On a,

$$\begin{aligned}\phi^J_{\eta,\nu} \circ \phi^J_{\nu,s_2^3}(x+z) &= \phi^J_{\eta,\nu} \circ \phi^J_{\nu,s_2^3}(x+y+z) \\ &= -\phi^J_{\eta,\eta'} \circ \phi^J_{\eta',s_2^3}(x+y+z) \\ &= -\phi^J_{\eta,\eta'}(0) = 0.\end{aligned}$$

En plus,

$$\phi^J_{s_2^2,\nu} \circ \phi^J_{\nu,s_2^3}(x+z) = -\phi^J_{s_2,\theta\nu} \circ \phi^J_{\theta\nu,s_2^3}(x) = 0.$$

Donc,

$$\phi^J_{\nu,s_2^3}(x) + \phi^J_{\nu,s_2^3}(z) \in K_\nu.$$

Le même calcul est possible d'être fait, cette fois-ci, pour $\phi^J_{\theta\nu,s_2^3}(x+y)$, d'où on obtient,

$$\phi^J_{\theta\nu,s_2^3}(x) + \phi^J_{\theta\nu,s_2^3}(y) \in K_{\theta\nu}.$$

Du lemme suivant (dont on donne une démonstration à la fin de la présent preuve),

Lemme 6.8.

$$K_\nu = \phi^J_{\nu,s_2^3}(\ker(\phi^J_{\theta\nu,s_2^3}) \cap \ker(\phi_{s_1^2,s_2^3}) \cap \ker(\phi_{s_3^2,s_2^3})),$$
$$K_{\theta\nu} = \phi^J_{\theta\nu,s_2^3}(\ker(\phi^J_{\nu,s_2^3}) \cap \ker(\phi_{s_1^2,s_2^3}) \cap \ker(\phi_{s_3^2,s_2^3})),$$

il existe $w_1 \in \ker(\phi^J_{\theta\nu,s_2^3}) \cap \ker(\phi_{s_1^2,s_2^3}) \cap \ker(\phi_{s_3^2,s_2^3})$, $w_2 \in \ker(\phi^J_{\nu,s_2^3}) \cap \ker(\phi_{s_1^2,s_2^3}) \cap \ker(\phi_{s_3^2,s_2^3})$, tel que,

$$\phi^J_{\nu,s_2^3}(w_1) = \phi^J_{\nu,s_2^3}(x) + \phi^J_{\nu,s_2^3}(z) \qquad \phi^J_{\theta\nu,s_2^3}(w_2) = \phi^J_{\theta\nu,s_2^3}(x) + \phi^J_{\theta\nu,s_2^3}(y).$$

Il nous est désormais possiblé d'écrire,

$$x + y + z = \frac{x + y + z - w_1 + w_2}{2} + \frac{x + y + z + w_1 - w_2}{2},$$

où le première terme à droite de l'égalité est contenu dans $\ker(\phi^J_{\nu,s_2^3})$ et le deuxième dans $\ker(\phi^J_{\theta\nu,s_2^3})$. Donc,

$$\ker(\phi_{2,3}) \cap X(s_2^3) = \ker(\phi_{s_1^2,s_2^3}) \cap \ker(\phi_{s_3^2,s_2^3}) \cap (\ker(\phi^J_{\nu,s_2^3}) + \ker(\phi^J_{\theta\nu,s_2^3})).$$

Considérons maintenant $x \in \ker(\phi^J_{\nu,s_2^3})$ et $y \in \ker(\phi^J_{\theta\nu,s_2^3})$ tels que, $x + y \in \ker(\phi_{s_1^2,s_2^3}) \cap \ker(\phi_{s_3^2,s_2^3})$. On définit,

$$z_1 = \phi_{s_1^2,s_2^3}(x) = -\phi_{s_1^2,s_2^3}(y)$$

et

$$z_2 = \phi_{s_3^2,s_2^3}(x) = -\phi_{s_3^2,s_2^3}(y).$$

Notons,

$$X(\alpha) := \{(m_1, -m_2), (m_2, -m_3), (m_3, -m_1), (m_4, -m_4)\},$$
$$X(\theta\alpha) := \{(m_1, -m_3), (m_2, -m_1), (m_3, -m_2), (m_4, -m_4)\}.$$

Comme,

$$\begin{aligned}\phi^J_{\alpha,s_1^2}(z_1) &= \phi^J_{\alpha,s_1^2} \circ \phi^J_{s_1^2,s_2^3}(x) \\ &= -\phi^J_{\alpha,\nu} \circ \phi^J_{\nu,s_2^3}(x) = 0\end{aligned}$$

et

$$\begin{aligned}\phi^J_{\theta\alpha,s_1^2}(z_1) &= \phi^J_{\theta\alpha,s_1^2} \circ \phi^J_{s_1^2,s_2^3}(-y) \\ &= \phi^J_{\alpha,\theta\nu} \circ \phi^J_{\theta\nu,s_2^3}(-y) = 0.\end{aligned}$$

on conclut $z_1 \in K_{s_1^2}$. Le même calcul est possible d'être fait, cette fois-ci, pour z_2, alors, $z_2 \in K_{s_3^2}$. Au cours de la preuve de la θ-exactitude pour le cran $(\mathbf{2} \to \mathbf{1})$ on donne une démonstration des deux égalités suivants,

$$K_{s_1^2} = \overline{X(s_1^2)},$$
$$K_{s_3^2} = \overline{X(s_3^2)}.$$

On peut donc choisir, $\bar{z}_1 \in \ker(\phi_{s_3^2,s_2^3}) \cap \ker(\phi^J_{\nu,s_2^3}) \cap \ker(\phi^J_{\theta\nu,s_2^3})$, $\bar{z}_2 \in \ker(\phi_{s_1^2,s_2^3}) \cap \ker(\phi^J_{\nu,s_2^3}) \cap \ker(\phi^J_{\theta\nu,s_2^3})$ tel que $\phi_{s_1^2,s_2^3}(\bar{z}_1) = z_1$ et $\phi_{s_3^2,s_2^3}(\bar{z}_2) = z_2$. Ce qui nous permet d'écrire,

$$x + y = (x - \bar{z}_1 - \bar{z}_2) + (y + \bar{z}_1 + \bar{z}_2),$$

où $x-\bar{z}_1-\bar{z}_2 \in \ker(\phi^J_{\nu,s_2^3}) \cap \ker(\phi_{s_1^2,s_2^3}) \cap \ker(\phi_{s_3^2,s_2^3})$ et $y+\bar{z}_1+\bar{z}_2 \in \ker(\phi^J_{\theta\nu,s_2^3}) \cap \ker(\phi_{s_1^2,s_2^3}) \cap \ker(\phi_{s_3^2,s_2^3})$.

Il ne nous reste maintenant qu'à démontrer le lemme **(6.8)**. Soit $z \in K_\nu$. Notons,

$$X(\lambda) := \{(m_1,-m_4),(m_2,-m_2),(m_3,-m_1),(m_4,-m_3)\},$$
$$X(\theta\lambda) := \{(m_1,-m_3),(m_2,-m_2),(m_3,-m_4),(m_4,-m_1)\},$$

et,

$$X(\zeta) := \{(m_1,-m_2),(m_2,-m_4),(m_3,-m_3),(m_4,-m_1)\},$$
$$X(\theta\zeta) := \{(m_1,-m_4),(m_2,-m_1),(m_3,-m_3),(m_4,-m_2)\}.$$

Par l'exactitude de la suite de Johnson il existe $a \in X(\lambda)$, $\bar{a} \in X(\theta\lambda)$, $b \in X(\zeta)$, $\bar{b} \in X(\theta\zeta)$ et $c \in X(s_2^3)$, tel que,

$$z = \phi^J_{\nu,\lambda}(a) + \phi^J_{\nu,\zeta}(b) + \phi^J_{\nu,s_2^3}(c),$$

et pour tout $\eta \in \mathfrak{S}_4$ avec $\eta \neq \nu$ et $l_{\mathfrak{S}}(\eta) = l_{\mathfrak{S}}(\nu)$,

$$0 = \phi^J_{\eta,\lambda}(a) + \phi^J_{\eta,\theta\lambda}(\bar{a}) + \phi^J_{\eta,\zeta}(b) + \phi^J_{\eta,\theta\zeta}(\bar{b}) + \phi^J_{\eta,s_2^3}(c).$$

Soit $u \in X(\mu)$, respectivement $\bar{u} \in X(\theta\mu)$, tel que $\phi^J_{\theta\lambda,\mu}(u) = -\bar{a}$, respectivement $\phi^J_{\theta\zeta,\theta\mu}(\bar{u}) = -\bar{b}$. On écrit $a_1 = a+\phi^J_{\lambda,\theta\mu}(\bar{u})$, $b_1 = b+\phi^J_{\zeta,\mu}(u)$ et $c_1 = c+\phi^J_{s_2^3,\mu}(u)+\phi^J_{s_2^3,\theta\mu}(\bar{u})$. Alors

$$z = \phi^J_{\nu,\lambda}(a_1) + \phi^J_{\nu,\zeta}(b_1) + \phi^J_{\nu,s_2^3}(c_1),$$
$$0 = \phi^J_{\theta\nu,s_2^3}(c_1),$$

et pour tout $\eta \in \mathfrak{S}_4$ avec $\eta \neq \nu,\ \eta \neq \theta\nu$ et $l_{\mathfrak{S}}(\eta) = l_{\mathfrak{S}}(\nu)$,

$$0 = \phi^J_{\eta,\lambda}(a_1) + \phi^J_{\eta,\zeta}(b_1) + \phi^J_{\eta,s_2^3}(c_1).$$

Notons,

$$X(\alpha) := \{(m_1,-m_2),(m_2,-m_3),(m_3,-m_1),(m_4,-m_4)\},$$
$$X(\theta\alpha) := \{(m_1,-m_3),(m_2,-m_1),(m_3,-m_2),(m_4,-m_4)\}.$$

Et,

$$X(\tau) := \{(m_1,-m_4),(m_2,-m_1),(m_3,-m_2),(m_4,-m_3)\},$$
$$X(\theta\tau) := \{(m_1,-m_2),(m_2,-m_3),(m_3,-m_4),(m_4,-m_1)\},$$

On a, car $s_2^3 \not>_B \tau$ et $\zeta \not>_B \tau$, l'égalité $\phi^J_{\tau,\lambda}(a_1) = 0$, donc,

$$\phi^J_{\theta\alpha,s_1^2} \circ \phi^J_{s_1^2,\lambda}(a_1) = -\phi^J_{\theta\alpha,\tau} \circ \phi^J_{\tau,\lambda}(a_1) = 0.$$

et l'élément $\phi^J_{s_1^2,\lambda}(a_1)$ appartient à $\ker(\phi^J_{\theta\alpha,s_1^2})$, par conséquent,

$$\phi^J_{\alpha,s_1^2} \circ \phi^J_{s_1^2,\lambda}(a_1) \in \ker(\phi^J_{s_1^1,\alpha}) \cap \ker(\phi^J_{s_2^1,\alpha}).$$

Notons par $\phi^{GL(6)}_{s_1^1,\alpha}$, respectivement $\phi^{GL(6)}_{s_2^1,\alpha}$, le morphismes de Johnson entre,

$$\{(m_1,-m_2),(m_2,-m_3),(m_3,-m_1)\} \text{ et } \{(m_1,-m_2),(m_2,-m_1),(m_3,-m_3)\},$$

respectivement,

$$\{(m_1,-m_2),(m_2,-m_3),(m_3,-m_1)\}) \text{ et } \{(m_1,-m_1),(m_3,-m_2),(m_2,-m_3)\},$$

qu'intervient dans la résolution de Johnson de $\overline{(m_1,-m_3),(m_2,-m_2),(m_3,-m_1)}$.

Alors,

$$\ker(\phi^J_{s_1^1,\alpha}) \cap \ker(\phi^J_{s_2^1,\alpha}) = \ker \phi^{GL(6)}_{s_1^1,\alpha} \cap \ker \phi^{GL(6)}_{s_2^1,\alpha} \times X(m_4,-m_4).$$

La multiplicité de $\{(m_1,-m_1),(m_2,-m_2),(m_3,-m_3)\}$ en tant que sous-quotient de $\{(m_1,-m_2),(m_2,-m_3),(m_3,-m_1)\}$ est, d'après le théorème **(6.2)** de **[CS98]**, égal à 1, par conséquent,

$$\ker \phi^{GL(6)}_{s_1^1,\alpha} \cap \ker \phi^{GL(6)}_{s_2^1,\alpha} = \overline{X(\{\delta(m_1,-m_2),\delta(m_2,-m_3),\delta(m_3,-m_1)\})},$$

et on peut écrire,

$$\begin{aligned}\ker(\phi^J_{s_1^1,\alpha}) \cap \ker(\phi^J_{s_2^1,\alpha}) &= \overline{X(\{\delta(m_1,-m_2),\delta(m_2,-m_3),\delta(m_3,-m_1)\})} \times X(m_4,-m_4)\\ &= \overline{X(\alpha)}.\end{aligned}$$

En conséquence,

$$\phi^J_{\alpha,s_1^2} \circ \phi^J_{s_1^2,\lambda}(a_1) \in \overline{X(\alpha)},$$

et on peut choisir un élément $\bar{v} \in X(\theta\mu)$ tel que, $\phi^J_{\lambda,\theta\mu}(\bar{v}) = -a_1$ et $\phi^J_{\theta\zeta,\theta\mu}(v) = 0$. De manière analogue on choisit un élément $v \in X(\mu)$ tel que, $\phi^J_{\zeta,\mu}(v) = -b_1$ et $\phi^J_{\theta\lambda,\mu}(v) = 0$. On écrit $c_2 = c_1 + \phi^J_{s_2^3,\mu}(v) + \phi^J_{s_2^3,\theta\mu}(\bar{v})$, alors $c_2 \in \ker(\phi^J_{\theta\nu,s_2^3}) \cap \ker(\phi_{s_1^2,s_2^3}) \cap \ker(\phi_{s_3^2,s_2^3})$ et $\phi^J_{\nu,s_2^3}(c_2) = z$. □

Du lemme **(6.7)** ils nous est désormais possible d'écrire,

$$\begin{aligned}\mathrm{Tr}_\theta(\ker(\phi_{2,3}) \cap X(s_2^3)) &= \mathrm{Tr}_\theta[\ker(\phi^J_{\nu,s_2^3}) \cap \ker(\phi_{s_1^2,s_2^3}) \cap \ker(\phi_{s_3^2,s_2^3})\\ &\qquad + \ker(\phi^J_{\theta\nu,s_2^3}) \cap \ker(\phi_{s_1^2,s_2^3}) \cap \ker(\phi_{s_3^2,s_2^3})]\\ &= \mathrm{Tr}_\theta(K_{s_2^3})\end{aligned}$$

Comme en plus,

$$K_{s_2^3} = \phi^J_{s_2^3,\mu}\left(\bigcap_{\nu' \neq s_2^3} \ker(\phi^J_{\nu',\mu})\right) + \phi^J_{s_2^3,\theta\mu}\left(\bigcap_{\nu' \neq s_2^3} \ker(\phi^J_{\nu',\theta\mu})\right)$$

on obtient,

$$\mathrm{Tr}_\theta(\ker(\phi_{2,3}) \cap X(s_2^3)) = \mathrm{Tr}_\theta[\phi_{s_2^3,\mu}(\bigcap_{\nu' \neq s_2^3} \ker(\phi^J_{\nu',\mu})) \cap \phi^J_{s_2^3,\theta\mu}(\bigcap_{\nu' \neq s_2^3} \ker(\phi^J_{\nu',\theta\mu}))].$$

Soit $x \in \bigcap_{\nu' \neq s_2^3} \ker(\phi^J_{\nu',\mu})$ et $y \in \bigcap_{\nu' \neq s_2^3} \ker(\phi^J_{\nu',\theta\mu})$ tel que,

$$\phi^J_{s_2^3,\mu}(x) = \phi^J_{s_2^3,\theta\mu}(y).$$

Par l'exactitude de la suite de Johnson il existe un élément $z \in X(s^4) \cap \ker(\phi_{s_1^3,s^4})$ tel que,

$$\phi^J_{\mu,s^4}(z) = x, \qquad \phi^J_{\theta\mu,s^4}(z) = -y,$$

d'où,

$$\phi^J_{s_2^3,\mu}\left(\bigcap_{\nu' \neq s_2^3} \ker(\phi^J_{\nu',\mu})\right) \cap \phi^J_{s_2^3,\theta\mu}\left(\bigcap_{\nu' \neq s_2^3} \ker(\phi^J_{\nu',\theta\mu})\right) = \phi_3(X(s^4) \cap \ker(\phi_{s_1^3,s^4}))$$

et on peut clairement conclure que,

$$\mathrm{Tr}_\theta(X(s_2^3) \cap \ker(\phi_2)/X(s_2^3) \cap \mathrm{im}(\phi_3)) = 0.$$

Cran $\mathbf{2} \to \mathbf{1}$,

$$\oplus_{k=1}^3 X(s_k^2) \to \oplus_{j=1}^3 X(s_j^1),$$

où on rappelle que,

$$\begin{aligned}
X(s_1^1) &:= \{(m_1,-m_2),(m_2,-m_1),(m_3,-m_3),(m_4,-m_4)\},\\
X(s_2^1) &:= \{(m_1,-m_1),(m_2,-m_3),(m_3,-m_2),(m_4,-m_4)\},\\
X(s_3^1) &:= \{(m_1,-m_1),(m_2,-m_2),(m_3,-m_4),(m_4,-m_3)\}.
\end{aligned}$$

Le fait que tout élément dans $X(s_1^2)$ soit possible d'être écrit comme la somme d'un élément dans $\mathrm{im}(\phi_{2,3})$ plus un élément dans $X(s_2^2) \oplus X(s_3^2)$ nous permet de ramèner la preuve à l'étude de l'espace $\ker(\phi_1) \cap (X(s_2^2) \oplus X(s_3^2))$. Soit $(v_{s_2^2}, v_{s_3^2}) \in \ker(\phi_1) \cap (X(s_2^2) \oplus X(s_3^2))$. Alors $\phi_{s_3^1,s_2^2}(v_{s_2^2}) = -\phi_{s_3^1,s_3^2}(v_{s_3^2})$. Comme la multiplicité de $X(s_{\max})$ en tant que sous-quotient de $X(s_3^1)$ est égal à 1 et la suite de Johnson définit un complexe différentiel, on obtient $\phi_{s_3^1,s_2^2}(v_{s_2^2}) = -\phi_{s_3^1,s_3^2}(v_{s_3^2}) \in \overline{X(s_3^1)}$. Par conséquent, il existe $z \in$

$X(s_2^3) \cap \ker(\phi_{s_1^2,s_2^3})$ tel que $\phi_{s_2^2,s_2^3}(z) = v_{s_2^2}$ et $v_{s_3^2} - \phi_{s_3^2,s_2^3}(z) \in K_{s_3^2}$. Pour $(v_{s_2^2}, v_{s_3^2})$ on a donc l'égalité,

$$(v_{s_2^2}, v_{s_3^2}) = (v_{s_2^2}, \phi_{s_3^2,s_2^3}(z)) + (0, v_{s_3^2} - \phi_{s_3^2,s_2^3}(z)),$$

avec $(v_{s_2^2}, \phi_{s_3^2,s_2^3}(z)) \in \mathrm{im}(\phi_2)$ et $v_{s_3^2} - \phi_{s_3^2,s_2^3}(z) \in K_{s_3^2}$. Ce qui nous permet de ramèner l'étude de l'espace $\ker(\phi_1) \cap X(s_2^2) \oplus X(s_2^2)/\mathrm{im}(\phi_{2,3}) \cap X(s_2^2 \oplus X(s_2^2)$ à l'étude de,

$$\ker(\phi_1) \cap X(s_3^2)/\mathrm{im}(\phi_2) \cap X(s_3^2).$$

Notons maintenant,

$$\begin{aligned} X(\beta) &:= \{(m_1, -m_1), (m_2, -m_3), (m_3, -m_4), (m_4, -m_2)\}, \\ X(\theta\beta) &:= \{(m_1, -m_1), (m_2, -m_4), (m_3, -m_2), (m_4, -m_3)\}. \end{aligned}$$

Soit $\phi^{GL(6)}_{\beta,s_3^2}$, respectivement $\phi^{GL(6)}_{\theta\beta,s_3^2}$, le morphismes de Johnson entre,

$$\{(m_2, -m_4), (m_3, -m_3), (m_4, -m_2)\} \text{ et } \{(m_2, -m_3), (m_3, -m_4), (m_4, -m_2)\},$$

respectivement,

$$\{(m_2, -m_4), (m_3, -m_3), (m_4, -m_2)\} \text{ et } \{(m_2, -m_4), (m_3, -m_2), (m_4, -m_3)\},$$

qu'intervient dans la résolution de Johnson de $\overline{\{(m_2, -m_4), (m_3, -m_3), (m_4, -m_2)\}}$.

De la définition du morphisme ϕ^J_{β,s_3^2}, respectivement $\phi^J_{\theta\beta,s_3^2}$, on obtient l'égalité,

$$\ker(\phi^J_{\beta,s_3^2}) = \delta(m_1, -m_1) \times \ker \phi^{GL(6)}_{\beta,s_3^2},$$

respectivement,

$$\ker(\phi^J_{\theta\beta,s_3^2}) = \delta(m_1, -m_1) \times \ker \phi^{GL(6)}_{\theta\beta,s_3^2}.$$

Considérons aussi les morphismes de Johnson suivants,

$$\begin{aligned} \phi^{GL(6)}_{s_2^1,s_3^2} &: \{(m_2, -m_4), (m_3, -m_3), (m_4, -m_2)\} \to \\ &\qquad \{(m_2, -m_3), (m_3, -m_2), (m_4, -m_4)\}, \\ \phi^{GL(6)}_{s_3^1,s_3^2} &: \{(m_2, -m_2), (m_3, -m_4), (m_4, -m_3)\} \to \\ &\qquad \{(m_2, -m_4), (m_3, -m_2), (m_4, -m_3)\}. \end{aligned}$$

Du lemme **(6.5)** on sait que,

$$\ker \phi^{GL(6)}_{s_2^1,s_3^2} \cap \ker \phi^{GL(6)}_{s_3^1,s_3^2} = \ker \phi^{GL(6)}_{\beta,s_3^2} + \ker \phi^{GL(6)}_{\theta\beta,s_3^2}.$$

Par conséquent, on peut écrire,

$$\begin{aligned}\ker(\phi_{1,2}) \cap X(s_3^2) &= \ker(\phi_{s_2^1,s_2^2}) \cap \ker(\phi_{s_3^1,s_2^2}) \\ &= \ker(\phi^J_{\beta,s_3^2}) + \ker(\phi^J_{\theta\beta,s_3^2}).\end{aligned}$$

D'où,

$$\mathrm{Tr}_\theta(\ker(\phi_1) \cap X(s_2^2)) = \mathrm{Tr}_\theta(\ker(\phi^J_{\beta,s_3^2}) \cap \ker(\phi^J_{\theta\beta,s_3^2})). \tag{51}$$

Comme en plus,

$$\ker(\phi^J_{\beta,s_3^2}) \cap \ker(\phi^J_{\theta\beta,s_3^2}) = \ker \phi^{GL(6)}_{\beta,s_3^2} \cap \ker \phi^{GL(6)}_{\theta\beta,s_3^2} \times X(m_4, -m_4),$$

et de l'exactitude de la suite de Johnson pour $\overline{\{(m_2,-m_4),(m_3,-m_3),(m_4,-m_2)\}}$ on a,

$$\ker \phi^{GL(6)}_{\beta,s_3^2} \cap \ker \phi^{GL(6)}_{\theta\beta,s_3^2} = \overline{X(\delta(m_1,-m_3) \otimes \delta(m_2,-m_2) \otimes \delta(m_3,-m_1))}.$$

on en déduit que,

$$\begin{aligned}\ker(\phi^J_{\beta,s_3^2}) \cap \ker(\phi^J_{\theta\beta,s_3^2}) &= \overline{X(\delta(m_1,-m_3) \otimes \delta(m_2,-m_2) \otimes \delta(m_3,-m_1))} \times \overline{X(m_4,-m_4)} \\ &= \overline{X(s_3^2)}. \end{aligned} \tag{52}$$

Ainsi, des égalités **(51)** et **(52)**, on obtient,

$$\mathrm{Tr}_\theta(\ker(\phi_1) \cap X(s_3^2)) = \overline{X(s_3^2)}.$$

Ce qui nous permet de conclure que,

$$\ker(\phi_1)/\mathrm{im}(\phi_2) = 0.$$

Cran $\mathbf{1} \to \mathbf{0}$,

$$\oplus_{j=1}^3 X(s_j^1) \to X(s_{\max}),$$

où on rappelle que,

$$X(s_{\max}) := \{(m_1,-m_1),(m_2,-m_2),(m_3,-m_3),(m_4,-m_4)\}.$$

Pour chaque $1 \leq j \leq 3$ on a, car la multiplicité de $X(s_{\max})$ en tant que sous-quotient de $X(s_j^1)$ est égal à 1, l'égalité,

$$\ker(\phi_{s_{\max},s_j^1}) = \overline{X(s_j^1)}.$$

Comme en plus chaque $\overline{X(s_j^1)},\ 1 \leq j \leq 3$ est contenu dans $\mathrm{im}(\phi_{1,2})$, on conclut,

$$\mathrm{Tr}_\theta(\ker(\phi_1) \cap X(s_3^2)/\mathrm{im}(\phi_2) \cap X(s_3^2)) = 0.$$

Références

[AJ87] Jeffrey Adams et Joseph F. Johnson : Endoscopic groups and packets of nontempered representations. *Compositio Math.*, 64(3):271–309, 1987.

[AMR] Nicolás Arancibia, Colette Mœglin et David Renard : Paquets d'arthur des groupes classiques et unitaires. *preprint*.

[Art13] James Arthur : *The endoscopic classification of representations*, volume 61 de *American Mathematical Society Colloquium Publications*. American Mathematical Society, Providence, RI, 2013. Orthogonal and symplectic groups.

[BB81] Alexandre Beilinson et Joseph Bernstein : Localisation de g-modules. *C. R. Acad. Sci. Paris Sér. I Math.*, 292(1):15–18, 1981.

[Bjö80] Anders Björner : Shellable and Cohen-Macaulay partially ordered sets. *Trans. Amer. Math. Soc.*, 260(1):159–183, 1980.

[CS98] William Casselman et Freydoon Shahidi : On irreducibility of standard modules for generic representations. *Ann. Sci. École Norm. Sup. (4)*, 31(4):561–589, 1998.

[Ede81] Paul H. Edelman : The Bruhat order of the symmetric group is lexicographically shellable. *Proc. Amer. Math. Soc.*, 82(3):355–358, 1981.

[Has79] Michihiko Hashizume : Whittaker models for real reductive groups. *Japan. J. Math. (N.S.)*, 5(2):349–401, 1979.

[Inc04] Federico Incitti : The Bruhat order on the involutions of the symmetric group. *J. Algebraic Combin.*, 20(3):243–261, 2004.

[Joh84] Joseph F. Johnson : Lie algebra cohomology and the resolution of certain Harish-Chandra modules. *Math. Ann.*, 267(3):377–393, 1984.

[MT09] William M. McGovern et Peter E. Trapa : Pattern avoidance and smoothness of closures for orbits of a symmetric subgroup in the flag variety. *J. Algebra*, 322(8):2713–2730, 2009.

[RS90] R. W. Richardson et T. A. Springer : The Bruhat order on symmetric varieties. *Geom. Dedicata*, 35(1-3):389–436, 1990.

[Sha80] Freydoon Shahidi : Whittaker models for real groups. *Duke Math. J.*, 47(1):99–125, 1980.

[Sha10] Freydoon Shahidi : *Eisenstein series and automorphic L-functions*, volume 58 de *American Mathematical Society Colloquium Publications*. American Mathematical Society, Providence, RI, 2010.

[Vog78] David A. Vogan, Jr. : Gel′fand-Kirillov dimension for Harish-Chandra modules. *Invent. Math.*, 48(1):75–98, 1978.

[Vog81] David A. Vogan, Jr. : *Representations of real reductive Lie groups*, volume 15 de *Progress in Mathematics*. Birkhäuser, Boston, Mass., 1981.

[Vog83] David A. Vogan : Irreducible characters of semisimple Lie groups. III. Proof of Kazhdan-Lusztig conjecture in the integral case. *Invent. Math.*, 71(2):381–417, 1983.

[Yam97] Atsuko YAMAMOTO : Orbits in the flag variety and images of the moment map for classical groups. I. *Represent. Theory*, 1:329–404 (electronic), 1997.